

**МИНИСТЕРСТВО НЕФТЯНОЙ ПРОМЫШЛЕННОСТИ  
ВНИИСПТнефть**

**РУКОВОДЯЩИЙ ДОКУМЕНТ**

**МЕТОДИКА  
РАСЧЕТА НЕСТАЦИОНАРНЫХ  
ТЕХНОЛОГИЧЕСКИХ РЕЖИМОВ РАБОТЫ  
НЕИЗОТЕРМИЧЕСКИХ ТЕПЛОИЗОЛИРОВАННЫХ  
МАГИСТРАЛЬНЫХ ТРУБОПРОВОДОВ ПРИ РАЗЛИЧНЫХ  
СПОСОБАХ ПРОКЛАДКИ ИХ В РАЙОНАХ  
РАСПРОСТРАНЕНИЯ МНОГОЛЕТНЕМЕРЗЛЫХ  
ГРУНТОВ**

**РД 39-30-1061-84**

**1984**

Министерство нефтяной промышленности  
ВСЕСОЮЗНЫЙ НАУЧНО-ИССЛЕДОВАТЕЛЬСКИЙ ИНСТИТУТ ПО СБОРУ,  
ПОДГОТОВКЕ И ТРАНСПОРТУ НЕФТИ И НЕФТЕПРОДУКТОВ  
(ВНИИСПГнефть)

УТВЕРЖДЕН

Первым заместителем министра  
нефтяной промышленности  
В.И.Кремневым

II марта 1984 г.

РУКОВОДЯЩИЙ ДОКУМЕНТ

М Е Т О Д И К А

РАСЧЕТА НЕСТАЦИОНАРНЫХ ТЕХНОЛОГИЧЕСКИХ РЕЖИМОВ РАБОТЫ  
НЕИЗОТЕРМИЧЕСКИХ ТЕПЛОИЗОЛИРОВАННЫХ МАГИСТРАЛЬНЫХ  
ТРУБОПРОВОДОВ ПРИ РАЗЛИЧНЫХ СПОСОБАХ ПРОКЛАДКИ ИХ  
В РАЙОНАХ РАСПРОСТРАНЕНИЯ МНОГОЛЕТНЕМЕРЗЛЫХ ГРУНТОВ

РД 39-30-1061-84

1984

Методика предназначена для расчета трубопроводов, перекачивающих жидкости, подчиняющиеся реологической модели нелинейно-вязкопластичной, псевдопластичной, линейно-вязкопластичной и ньютоновской жидкостей. Методика охватывает области ламинарного и турбулентного режимов движения жидкости в трубопроводе.

Базой для составления методики явились теоретические и экспериментальные исследования отдела трубопроводного транспорта ВНИИСПТнефть и литературные рекомендации.

Методика разработана к.т.н. Тонконокуровым Б.А.

## РУКОВОДЯЩИЙ ДОКУМЕНТ

Методика расчета нестационарных технологических режимов работы неизотермических теплоизолированных магистральных трубопроводов при различных способах прокладки их в районах распространения многолетнемерзлых грунтов

РД 39-30-1061-84

Вводится впервые

Приказом Министерства нефтяной промышленности от 13.06.84 г. № 360  
срок введения с 01.08.84 г.  
Срок действия до 01.08.89 г.

Настоящая методика предназначена для теплогидравлических расчетов нестационарных технологических режимов работы действующих и проектируемых трубопроводов.

Методика позволяет:

1. Определить критическую температуру перехода турбулентного режима движения жидкости в ламинарный.
2. Провести тепловой и гидравлический расчеты пускового участка трубопровода.
3. Определить безопасное время остановки трубопровода.
4. Определить определить отек протаивания грунтов вокруг трубопровода.

### I. ПЕРЕЧЕНЬ УСЛОВНЫХ ОБОЗНАЧЕНИЙ

#### I.I. Индексы:

$\bar{\omega}$  - величина, характеризующая безопасность остановки перекачки;

$\vartheta$  - величина относится к воздуху;

- вк - величина относится к конвективному теплообмену;  
 в.о. - величина относится к теплообмену на границе грунт-воздух;  
 $\varphi$  - величина относится к радиационному теплообмену;  
 $gr$  - величина относится к грунту;  
 доп. - допустимая величина;  
 ост.о. - величина относится к окружающей среде;  
 ж - величина относится к жидкости;  
 зап. - величина, характеризующая заполнение трубопровода;  
 заст. - величина, характеризующая процесс застывания;  
 из - величина относится к изоляции;  
 $x$  - конечное значение величины;  
 $kP$  - величина относится к концу кристаллизации парафина;  
 $kD$  - критическое значение величины, соответствующее условиям  
смены режима движения;  
 лам. - величина относится к ламинарному течению;  
 $M$  - величина относится к мерзлому грунту;  
 $H$  - начальное значение величины;  
 $hP$  - величина относится к началу парафинизации;  
 ост. - величина относится к периоду остановки перекачки;  
 $\pi$  - величина относится к поверхности;  
 $sn$  - величина относится к снегу;  
 $T$  - величина относится к талому грунту;  
 $tr$  - величина относится к трубопроводу;  
 $tur$  - величина относится к турбулентному режиму;  
 $\eta_T$  - величина, характеризующая черноту поверхности;  
 $sep$  - величина, относящаяся к эффективному показателю;  
 $t$  - величина относится к нестационарным условиям;  
 $\infty$  - величина относится к стационарным условиям;  
 $x$  - величина берется при температуре  $T_x$ , при которой из нефти выделилось  $E$  парафина (в частях единицы);

$W$  - параметр взят при средней температуре стенки;  
 $f$  - параметр взят при средней температуре потока;  
 $*$  - величина, характеризующая проявление неильтоновских свойств жидкости;

$20$  - величина берется при температуре  $20^{\circ}\text{C}$ ;

$15$  - величина берется при температуре  $15^{\circ}\text{C}$ ;

### 1.2. Обозначения

а) техническая характеристика трубопровода:

$D_1$  - внутренний диаметр трубы, м;

$R_1$  - внутренний радиус трубы, м;

$D_2$  - наружный диаметр трубы, м;

$R_2$  - наружный радиус трубы, м;

$D_{\text{НЗ}}$  - внешний диаметр трубопровода с учетом слоя теплоизоляции, м;

$R_{\text{НЗ}}$  - внешний радиус трубопровода с учетом слоя теплоизоляции, м;

$L$  - полная длина участка, м;

$l$  - текущая длина участка, м;

$h_0$  - глубина заложения оси трубопровода, м;

$h_{\varphi}$  - фиктивная глубина заложения, м;

$h_m$  - глубина нейтрального слоя, ниже которой не оказывается сезонное изменение температуры воздуха, м;

$\epsilon_{\text{Чт}}$  - приведенная степень черноты трубы;

б) тепловая и гидравлическая характеристика перекачиваемой жидкости:

$Q$  - объемный расход,  $\text{м}^3/\text{с}$ ;

$W$  - скорость течения,  $\text{м}/\text{с}$ ;

$\rho$  - плотность,  $\text{кг}/\text{м}^3$ ;

$\beta$  - коэффициент объемного расширения,  $1/{^{\circ}\text{C}}$ ;

$\eta$  - динамическая вязкость,  $\text{нс}/\text{м}^2$ ;

- $\nu$  - кинематическая вязкость,  $\text{м}^2/\text{с}$ ;  
 $\dot{\gamma}$  - градиент скорости,  $\text{1}/\text{с}$ ;  
 $K$  - мера консистенции,  $\text{Н}\cdot\text{с}^\Pi/\text{м}^2$ ;  
 $T$  - температура,  $^\circ\text{C}$ ;  
 $\tau_0$  - предельное напряжение сдвига,  $\text{Н}/\text{м}^2$ ;  
 $\pi$  - показатель поведения жидкости,  $0 < \pi \leq 1$ ;  
 $\Pi$  - общее содержание парафина в нефти (в частях единицы);  
 $E$  - количество парафина (в частях единицы), выпавшее из нефти  
в интервале температур  $T_{f_{47}} \div T_{f_{47}}$ ;  
 $\chi$  - скрытая теплота кристаллизации парафина;  
 $\chi = (2,26 : 2,3) \cdot 10^5$ ,  $\text{Дж}/\text{кг}$ ,  
 $\alpha'$  - коэффициент температуропроводности,  $\text{м}^2/\text{с}$ ;  
 $C$  - весовая теплоемкость,  $\text{Дж}/\text{кг}^\circ\text{C}$ ;  
 $\lambda$  - коэффициент теплопроводности,  $\text{Вт}/\text{м}^\circ\text{C}$ ;  
 $\theta$  - безразмерная температура;  
 $t$  - время;  
 $t_{\text{без}}$  - продолжительность безопасной остановки трубопровода;  
 $\alpha_1$  - внутренний коэффициент теплоотдачи от жидкости к стенке,  
 $\text{Вт}/\text{м}^2$  град;  
 $H$  - потери напора на трение,  $\text{м}$ ;  
 $Z_H = T_H - T_o$ ;    $Z_K = T_K - T_o$ ;    $Z_* = T_* - T_o$ ;    $\Delta T = T_f - T_w$ .  
 в) характеристика окружающей среды:  
 $T_o$  - температура окружающей среды в ненаруженном тепловом состоянии в плоскости (горизонтальной) расположения оси трубопровода, град;  
 $V$  - скорость ветра,  $\text{м}/\text{с}$ ;  
 $\delta$  - толщина слоя,  $\text{м}$ ;  
 $\alpha_2$  - внешний коэффициент теплоотдачи от наружной поверхности трубы в окружающую среду,  $\text{Вт}/\text{м}^2$  град;

$K_t$  - коэффициент, учитывающий особенности теплового взаимодействия трубопровода с окружающей средой при пуске, Вт/м<sup>2</sup> град;

$K_\infty$  - полный коэффициент теплопередачи при стационарном режиме, Вт/м<sup>2</sup> град;

$Q_\varphi$  - теплота фазовых переходов воды в грунте, Вт с/м<sup>3</sup>;

$r$  - радиус протаивания (промерзания):  $r_v$  - верха,  $r_n$  - низа, м;

$\alpha_{s,0}$  - обобщенный (с учетом радиационного баланса) коэффициент теплоотдачи от грунта в атмосферу, Вт/м<sup>2</sup> град;

$q_\varphi$  - удельная теплота плавления льда;

$\omega$  - естественная влажность грунта;

$\omega_{nz}$  - количество незамерзшей воды в грунте.

### I.3. Константы

$\alpha$  - константа в формуле для коэффициента гидравлического сопротивления;

$\beta$  - показатель степени в формуле для коэффициента гидравлического сопротивления;

$\beta$  - константа в формуле для предельного напряжения сдвига, 1/град;

$\tau_0$  - коэффициент в формуле для определения предельного напряжения сдвига, Н/м<sup>2</sup>;

$\kappa$  - показатель крутизны вискограммы (консистентограммы), 1/град;

$g$  - ускорение силы тяжести  $g = 9,81 \text{ м/с}^2$ ;

$\Delta r$  - поправка на неизотермичность по радиусу трубы;

$\Delta l$  - поправка на неизотермичность по длине трубы;

$\beta_*$  - коэффициент в формуле для определения потерь напора при движении неьютоновской нефти, с<sup>2</sup>/м;

$C_S$  - постоянная Планка,  $C_S = 5,7 \text{ Вт/м}^2 \text{ }^\circ\text{К}^4$ .

$$\begin{aligned} \rho_i &= \text{приведенные числа Чебышева} \\ \rho_1 &= 0,0838; & \rho_2 &= 0,3127; \\ \rho_4 &= 0,6873; & \rho_5 &= 0,9163 \end{aligned}$$

#### I.4. Параметры

Ньютоновская жидкость

$$Re = \frac{W \cdot D_1}{\nu}$$

- Число Рейнольдса;

$$\Pr = \frac{\nu}{a'}$$

- параметр Прандтля;

$$Gr = \frac{g \cdot \beta \cdot D_1^3 \cdot \Delta T}{\nu^2}$$

- параметр Грасгофа;

Псевдопластичная жидкость

$$Re = \frac{D_1^n \cdot W^{2-n} \cdot \rho}{\frac{\kappa}{8} \left( \frac{6n+2}{n} \right)^n}$$

- число Рейнольдса;

$$Re_* = \frac{D_1^n \cdot W^{2-n} \cdot Q}{\frac{\kappa}{8} \left( \frac{6n+2}{n} \right)^n} \cdot \frac{3}{2} \cdot \frac{(3n+1)^2}{(2n+1)(5n+3)} - \text{обобщенный параметр Рейнольдса};$$

$$\Pr_* = \frac{\kappa}{80a'} \left( \frac{D_1}{W} \right)^{1-n} \left( \frac{6n+2}{n} \right)^n \cdot \frac{2}{3} \cdot \frac{(2n+1)(5n+3)}{(3n+1)^2} - \text{обобщенный параметр Прандтля};$$

$$Gr_* = \frac{g \cdot \beta \cdot \Delta T \cdot D_1^3 \cdot Q^2}{\left[ \frac{\kappa}{8} \left( \frac{D_1}{W} \right)^{1-n} \left( \frac{6n+2}{n} \right)^n \right]^2} \cdot \left[ \frac{3}{2} \frac{(3n+1)^2}{(2n+1)(5n+3)} \right]^2 - \text{обобщенный параметр Грасгофа};$$

Бингамовская жидкость

$$I = \frac{\tau_0 \cdot D_1}{\eta \cdot W}$$

- параметр Ильюшина;

$$Re = \frac{W \cdot D_1 \cdot Q}{\eta}$$

- число Рейнольдса;

$$Re = \frac{W \cdot D_1 \cdot Q}{\eta} \left[ \frac{8}{I + 2(1 + \sqrt{9 + I})} \right]$$

- обобщенное число Рейнольдса;

$$Pr = \frac{\eta}{\alpha' \cdot Q}$$

- число Прандтля;

$$Gr = \frac{g \cdot \beta \cdot \Delta T \cdot D_1^3 \cdot Q^2}{\eta^2}$$

- параметр Грасгофа;

$$He = \frac{\tau_0 \cdot D_1^2 \cdot Q}{\eta^2}$$

- параметр Хедстрема;

Нелинейно-вязкопластичная жидкость

$$I = \frac{\tau_0 \cdot D_1^n}{\frac{\kappa}{8} \left( \frac{6n+2}{n} \right)^n \cdot W^n}$$

- параметр Ильинина;

$$He = \frac{\tau_0 \frac{2-n}{n} \cdot D_1^2 \cdot Q}{\left[ \frac{\kappa}{8} \left( \frac{6n+2}{n} \right)^n \right]^{\frac{n}{2}}} \cdot \frac{3}{2} \frac{(3n+1)^2}{(2n+1)(5n+3)}$$

- критерий Хедстрема;

$$Re_* = \frac{D_1^n \cdot W^{2-n} \cdot Q}{\frac{\kappa}{8} \left( \frac{6n+2}{n} \right)^n} \left\{ \frac{8}{I + \frac{8}{3n+1} \left[ n + \sqrt{(2n+1)^2 + \frac{I n (3n+1)}{4}} \right]} \right\} \times \\ \times \frac{3}{2} \frac{(3n+1)^2}{(2n+1)(5n+3)};$$

- обобщенный параметр Рейнольдса;

$$Pr_* = \frac{\kappa}{540 \alpha'} \left( \frac{D_1}{W} \right)^{1-n} \left( \frac{6n+2}{n} \right)^n \cdot \left\{ I + \frac{8}{3n+1} \left[ n + \sqrt{(2n+1)^2 + \frac{I n (3n+1)}{4}} \right] \right\} \times \\ \times \frac{2}{3} \frac{(2n+1)(5n+3)}{(3n+1)^2}$$

- обобщенный параметр Прандтля;

$$Gr_* = \frac{g \cdot \beta \cdot \Delta T \cdot D_1^3 \cdot Q}{\left[ \frac{\kappa}{8} \left( \frac{6n+2}{n} \right)^n \left( \frac{D_1}{W} \right)^{1-n} \right]^2} \cdot \left\{ \frac{8}{I + \frac{8}{3n+1} \left[ n + \sqrt{(2n+1)^2 + \frac{I n (3n+1)}{4}} \right]} \right\}^2 \times \\ \times \left[ \frac{3}{2} \frac{(3n+1)^2}{(2n+1)(5n+3)} \right]^2$$

- обобщенный параметр Грасгофа;

## 2. ИСХОДНЫЕ ДАННЫЕ ДЛЯ РАСЧЕТА

Исходные данные должны включать в себя:

1) Техническую характеристику трубопровода:

а) производительность перекачки -  $Q$ ;

б) внутренний и наружный диаметры трубопровода -  $D_1, D_2$ ;

в) длину трубопровода -  $L$ ;

г) глубину заложения трубопровода, считая по оси -  $h_0$ ;

д) материал и толщину изоляции -  $\lambda_{из}$  и  $\delta_{из}$ ;

е) начальную температуру жидкости -  $T_H$ ;

ж) конечную температуру жидкости -  $T_K$ ;

Величины по пунктам в и ж могут совместно не задаваться.

2) Характеристику перекачиваемой жидкости - зависимости плотности  $\rho$ , коэффициента теплопроводности  $\lambda$ , удельной теплоемкости  $C$  от температуры  $T$ ; зависимости меры консистенции  $K$ , показателя поведения жидкости  $\pi$ , вязкости  $\eta$  и предельного (динамического) напряжения сдвига  $\tau_0$  от температуры, температуру проявления неиньютоновских свойств жидкости  $T_*$ , значение коэффициента объемного расширения.

3) Характеристику внешней среды:

а) сведения о распределении грунтов по трассе трубопровода;

б) данные о температуре, влажности, теплоемкости, теплоте фазовых переходов, объемном весе и коэффициенте теплопроводности грунтов на глубине заложения по месяцам года;

в) данные по срокам выпадения и толщина сугробых покровов в районах прохождения трассы трубопровода.

Определение характеристики жидкости необходимо провести в лаборатории непосредственно на нефти (нефтепродукте), предназначенной для перекачки.

Значения  $\tau_0, K, \pi, \eta, T_*$  определяются из реологических исследований.

Определение плотности производится в соответствии с действующим ГОСТом при температуре 20°C. Пересчет плотности на плотность при других температурах производится по формуле

$$\rho_T = \frac{\rho_{20}}{1 + \beta(T-20)}, \quad (1)$$

где  $\beta$  - коэффициент объемного расширения, величина которого выбирается в соответствии с табл. I (см. приложение).

Определение реологических свойств жидкости позволяет установить, к каким моделям следует отнести данную среду при различных температурах (ニュントンовской, псевдопластичной, нелинейно-вязкопластичной или бингамовской модели жидкости). Зависимость напряжения от скорости сдвига приведена на рис. I. Обобщающей моделью всех этих кривых является модель Балкли-Гершля

$$\tau = \tau_0 + K \cdot \dot{\gamma}^n, \quad (2)$$

описывающая нелинейно-вязкопластичную жидкость.

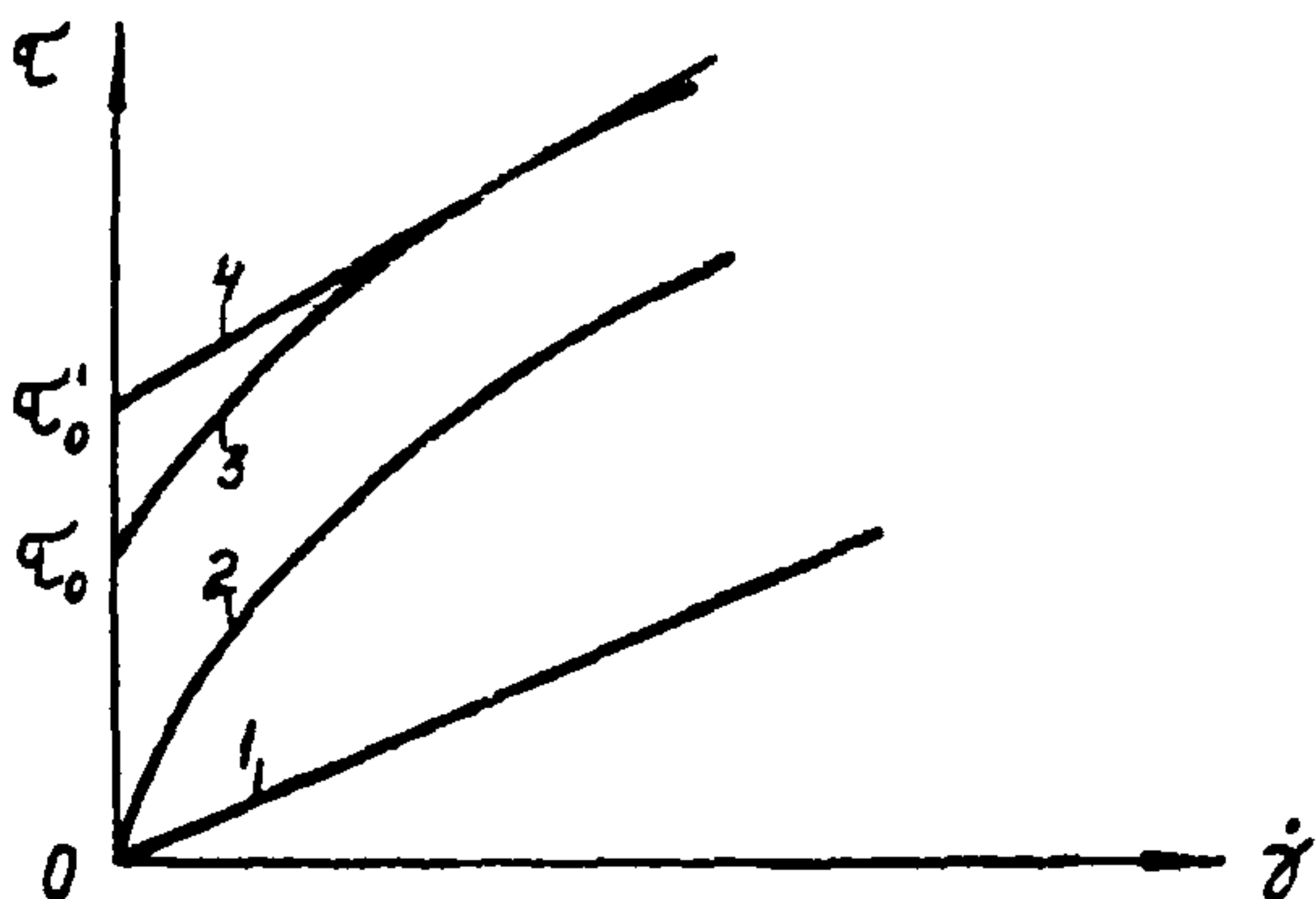


Рис. I Зависимость напряжения сдвига от скорости сдвига для различных жидкостей:

1 - ньютоновская; 2 - псевдопластичная; 3 - нелинейно-вязкопластичная; 4 - бингамовская.

При  $\eta = 1$  уравнение (2) принимает вид:

$$\tau = \tau'_0 + \eta \cdot \dot{\gamma} . \quad (3)$$

Это модель Шведова-Бингама, описывающая бингамовскую жидкость. При  $\tau'_0 = 0$  уравнение (2) описывает псевдопластичную жидкость

$$\tau = K \cdot \dot{\gamma}^n . \quad (4)$$

При  $n = 1$  и  $\tau'_0 = 0$  уравнение (2) переходит в уравнение Ньютона для описания ньютоновских жидкостей

$$\tau = \eta \cdot \dot{\gamma} . \quad (5)$$

Определение меры консистентности  $K$  и показателя поведения жидкости  $n$  производится с помощью кривых  $\tau - \dot{\gamma}$  для различных температур. При этом составляется система уравнений для одной кривой:

$$\begin{aligned} \tau_1 &= \tau'_0 + K (\dot{\gamma}_1)^n ; \\ \tau_2 &= \tau'_0 + K (\dot{\gamma}_2)^n \end{aligned} \quad (6)$$

и решается относительно  $K$  и  $n$ .

Значения градиентов скорости  $\dot{\gamma}_1$  и  $\dot{\gamma}_2$  выбираются в диапазоне режима работы трубоопровода ( $\dot{\gamma} = 8W/D_1$ ).

Зависимость предельного напряжения сдвига от температуры имеет вид:

$$\tau'_0 = \tau'_{0*} (e^{-\theta T} - e^{-\theta T_*}) , \quad (7)$$

где  $\tau'_{0*}$ ,  $\theta$  – опытные коэффициенты для данной жидкости.

Параметр консистенции  $K$  с повышением температуры уменьшается ( $K = A_K e^{-S_K \cdot T}$ ), приближаясь по численному значению к вязкости ньютоновской жидкости (при  $T > T_*$ ).

Параметр  $n$  с повышением температуры до значения  $T_*$  – температуры проявления ненейтоновских свойств жидкости возрастает ( $n = A_n + S_n \cdot T$ ), приближаясь к единице.

Остальные релогические характеристики также определяются

в лабораторных условиях. Если такое определение по каким-либо причинам окажется невозможным, то часть характеристик можно рассчитать.

Весовая теплоемкость рассчитывается по формуле Крего /1/:

$$C = \frac{1324 \cdot 10^5}{\sqrt{\rho_{15}}} (0403 + 000081 \cdot T). \quad (8)$$

Коэффициент теплопроводности также рассчитывается по формуле Крего /1/:

$$\lambda = \frac{17,5 \cdot 10^2}{\rho_{15}} (1 - 000054 \cdot T). \quad (9)$$

Особенностью нелинейно-вязкопластичных нефтей и нефтепродуктов является высокое содержание парафина. Поэтому для них дополнительно необходимо иметь лабораторные данные о температуре начала и конца кристаллизации парафина  $T_{нп}$  и  $T_{кп}$ , а также о количестве парафина в частях единицы  $\epsilon$ , выпадающем при температуре  $T_x < T_{нп}$ .

Темп выделения  $\epsilon/(T_{нп} - T_x)$  можно приближенно оценить по следующему выражению:

$$\frac{\epsilon}{T_{нп} - T_x} = \frac{\pi}{T_{нп} - T_{кп}}. \quad (10)$$

При ориентировочных расчетах интервал  $(T_{нп} - T_{кп})$  можно принимать равным 40–50°C, а температуру  $T_{нп}$  выбирать в пределах 40–50°C /3/. Содержание парафина в некоторых нефтях, по данным Ашумова, Павловой и др. /4/, /5/, /6/, представлено в табл. 2 (см. приложение).

Теплофизические свойства (коэффициенты теплопроводности и температуропроводности и теплоемкость) грунтов в мерзлом и талом состояниях являются важными параметрами при тепловом расчете

трубопровода. Необходимо определить теплофизические свойства грунтов непосредственно в полевых условиях на трассах трубопроводов. При этом методом статистической обработки более обоснованно выбрать значения их коэффициентов теплопроводности и температуропроводности, определить длину расчетных участков трубопровода, на которых теплофизические свойства грунтов можно принять постоянными.

В качестве основного метода полевых определений теплофизических свойств вечномерзлых грунтов рекомендуется метод регулярного режима /7/.

При определении теплофизических свойств грунтов, не относящихся к категориям вечномерзлых, наиболее простым является зондовый.

При отсутствии возможности определения теплофизических свойств грунтов в полевых условиях необходимые параметры могут быть приняты по действующим СНиПам (СНиП II-18-76, СНиП II-А. 6-72 и др.) и справочникам по климату СССР .

### 3. ОПРЕДЕЛЕНИЕ КРИТИЧЕСКИХ ПАРАМЕТРОВ ПОТОКА ЖИДКОСТИ

Переход от турбулентного режима течения жидкости в трубопроводе в ламинарный наступает при определенном числе Рейнольдса и критической температуре.

Для определения критической температуры рассчитывается обобщенное число Рейнольдса в рабочем диапазоне температур по формуле

$$Re_* = \frac{D_r^n \cdot W^{2-n}}{\frac{K}{8} \left( \frac{6n+2}{n} \right)^n} \cdot \frac{3}{2} \frac{(3n+1)^2}{(2n+1)(5n+3)} x^* \quad (II)$$

$$\times \left\{ \frac{8}{1 + \frac{8}{3n+1} \left[ n + \sqrt{(2n+1)^2 + \frac{16n(3n+1)}{4}} \right]} \right\} .$$

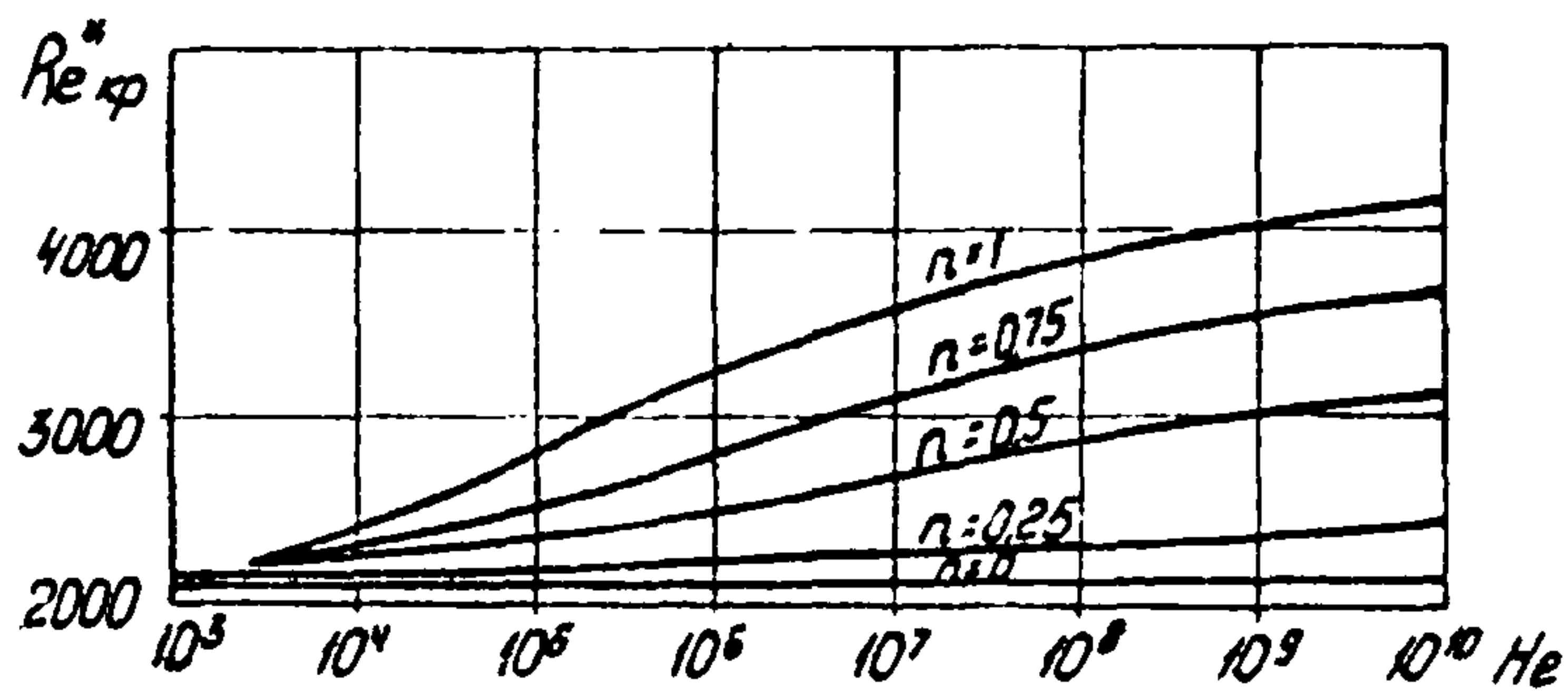


Рис.2 График зависимости значения критического обобщенного числа Рейнольдса от параметра Хедстрема и показателя поведения жидкости

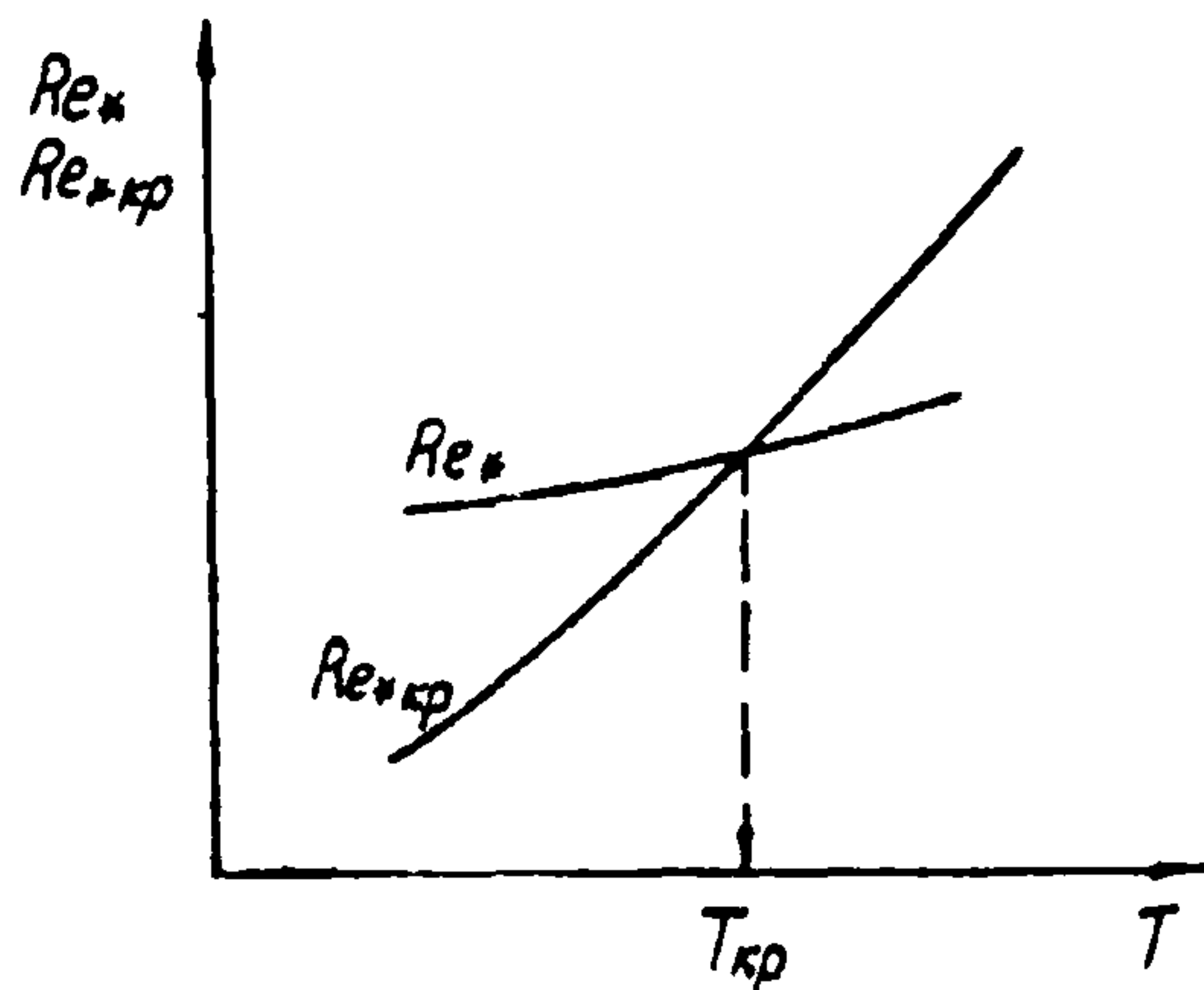


Рис.3 Определение критической температуры потока жидкости

и строится график зависимости обобщенного числа Рейнольдса от температуры ( $Re_{\#} - T$ ).

Затем по формуле

$$He = \frac{\xi_0 \frac{2-\gamma}{\pi} \cdot \varphi \cdot D_1^2}{\left[ \frac{\kappa}{8} \left( \frac{6n+2}{n} \right)^n \right]^{\frac{2}{n}}} \cdot \frac{3}{2} \cdot \frac{(3n+1)^2}{(2nH)(5n+3)} \quad (I2)$$

рассчитывается параметр Хедстрема в интервале температур, при которых перекачивается жидкость. При изменении параметра Хедстрема от  $10^3$  до  $10^6$  и показателя поведения жидкости от 0,25 до 1,0 значение критического обобщенного числа Рейнольдса можно определить по формуле /9/

$$Re_{*kp} = (2235 - 874n) He^{(0.025n - 0.013)} \quad (I3)$$

или по nomogramme (рис. 2). Затем строится график зависимости  $Re_{*kp}$  от температуры ( $Re_{*kp} - T$ ) (рис. 3): Точка пересечения кривых  $Re_* - T$  и  $Re_{*kp} - T$  дает значение критической температуры.

Для маловязкой нефти критическая температура определяется по формуле

$$T_{kp} = T_i + \frac{1}{U} \ln \frac{Re_i}{Re_{kp}}, \quad (I4)$$

где  $T_i$  - температура, при которой известна вязкость  $\eta_i$  данной нефти,  $Re_i$  - значение Рейнольдса при температуре  $T_i$ , значение  $Re_{kp}$  равное 2320.

#### 4. ПУСК ТРУБОПРОВОДА В ЭКСПЛУАТАЦИЮ

##### 4.1. Термический расчет

Термический расчет при пуске трубопровода ставит своей задачей установить распределение средней по сечению температуры потока по длине трубопровода в зависимости от времени с начала его

заполнения.

### Подземная прокладка

Изменение температуры жидкости в трубопроводе в период пуска и выхода на стационарный режим определяется по уравнению /10/:

$$T = T_{\text{ест.о}} + (T_H - T_{\text{ест.о}}) e^{-\frac{\kappa \cdot \pi D_i l}{Q \rho c}} [1 - e^{-x(t - t_{\text{зап}})} \times \\ \times (1 - e^{-\frac{K_t \cdot \pi D_i l}{Q \rho c}})] \cdot g(t), \quad (15)$$

где  $g(t)$  - ступенчатая функция

$$g(t) = \begin{cases} 0 & \text{при } t < t_{\text{зап.}} \\ 1 & \text{при } t \geq t_{\text{зап.}} \end{cases}$$

$t$  - время работы трубопровода с момента начала заполнения;

$t_{\text{зап.}}$  - время заполнения участка трубопровода длиной  $l$  со средней скоростью  $W$ :

$$t_{\text{зап.}} = l/W;$$

$$X = \frac{40\alpha'}{4h_0^2 - D_i^2} \left( 1 + \frac{sh 2\alpha_0}{4\alpha_0} \right);$$

$$\alpha_0 = \ln \left( \frac{2h_0}{D_i} + C_0 \right);$$

$$C_0 = \sqrt{\left( \frac{2h_0}{D_i} \right)^2 - 1}.$$

При наличии снегового покрова его теплоизолирующее влияние учитывается введением в расчет вместо геометрической величины "фиктивной" глубины заложения:

$$h_{\text{оф}} = h_0 + \frac{\lambda_{\text{ср}}}{\lambda_{\text{сн}}} \delta_{\text{сн}}, \quad (16)$$

где  $\delta_{\text{сн}}$  - толщина снежного покрова.

Значения коэффициента теплопроводности снега ( $\lambda_{\text{сн}}$ ) определяются по данным работы /12/ или приближенно принимаются для рыхлого снега - 0,23; для плотного - 0,58.

Величина коэффициента теплопередачи от жидкости в окружающую среду определяется по формуле:

$$K_{\infty} = \left( \frac{Ch \alpha_0}{\bar{\alpha}_1 \cdot C_0} + \frac{1}{\alpha_2} + \frac{1}{C_0 \cdot \alpha_{в.о.}} \right)^{-1}, \quad (I7)$$

где  $\alpha_2 = 2\lambda_{р9}/D_1 \cdot \alpha_0$ ; (I8)

$$\bar{\alpha}_1 = \left( \frac{1}{\alpha_1} + \frac{D_1}{2\lambda_{ct}} \ln \frac{D_2}{D_1} + \frac{D_1}{2\lambda_{H3}} \ln \frac{D_{H3}}{D_2} \right)^{-1}; \quad (I9)$$

$$D_{H3} = D_2 + 2\delta_{H3}. \quad (20)$$

Величина коэффициентов теплопроводности различных типов тепловой изоляции приведена в таблице /3/ (см. приложение).

Значение коэффициентов теплоотдачи от жидкости к внутренней стенке трубы определяется в зависимости от режима течения:

при ламинарном режиме

$$\alpha_1 = 0.17 \frac{\lambda_x}{D_1} Re_{x_f}^{0.33} Pr_{x_f}^{0.43} Gr_{x_f}^{0.1} \left( \frac{\rho_{r_{x_f}}}{\rho_{r_{x_w}}} \right)^{0.25}; \quad (21)$$

при турбулентном режиме

$$\alpha_1 = 0.021 \frac{\lambda_x}{D_1} Re_{x_f}^{0.8} Pr_{x_f}^{0.43} \left( \frac{\rho_{r_{x_f}}}{\rho_{r_{x_w}}} \right)^{0.25}. \quad (22)$$

Здесь теплофизические характеристики определяются при средних температурах потока ( $T_f$ ) и стенки трубы ( $T_w$ ). Температура стенки трубы ( $T_w$ ) находится методом последовательных приближений с проверкой по уравнению теплового баланса:

$$\alpha_1 D_1 (T_f - T_{tp}) = K_t D_{H3} (T_{H3} - T_{ext,0}). \quad (23)$$

При ориентировочных расчетах для вычисления  $\alpha_1$  в период пуска нефтепровода можно принимать температуру стенки трубы на 5-10°C ниже средней температуры жидкости в области турбулентного

течения и на 10–15°C ниже в ламинарной области. В стационарных условиях перекачки  $\bar{T}_W$  на 1–1,5°C ниже  $T_f$  в турбулентной области и на 3–4°C ниже в ламинарной области.

Коэффициент теплоотдачи от поверхности грунта в атмосферу включает значение коэффициентов конвективного ( $\alpha_{vk}$ ) и радиационного теплообмена ( $\alpha_{vr}$ ):

$$\alpha_{vo} = \alpha_{vk} + \alpha_{vr}. \quad (24)$$

Конвективная составляющая определяется по формуле:

$$\alpha_{vk} = 116 + 70 \sqrt{V_o}. \quad (25)$$

Значение коэффициента  $\alpha_{vr}$  находится по формуле:

$$\alpha_{vr} = \frac{\epsilon_{Ч.Т.} \cdot C_s}{T_n - T_B} \left[ \left( \frac{T_n + 273}{100} \right)^4 - \left( \frac{T_B + 273}{100} \right)^4 \right]. \quad (26)$$

Численность значения величины приведенной степени черноты трубы в зависимости от материала и вида поверхности приведены в таблице 4 (см. приложение).

При практических расчетах допускается принимать  $\alpha_{vr}$  порядка 4 Вт/м<sup>2</sup> град.

Коэффициент, учитывающий особенности теплового взаимодействия трубопровода с окружающей средой при пуске, определяется по зависимости:

$$K_t = 2,5 K_\infty \cdot \alpha_2 \left( \frac{1}{\alpha_2} + \frac{2}{C_o \cdot \alpha_{vo}} \right). \quad (27)$$

В результате падения температуры нефти, закачиваемой в нефтепровод, ее физические свойства изменяются по длине трубопровода. Вследствие этого в трубопроводе может быть несколько режимов течения. На рис. 4 представлен наиболее общий случай, встречающийся при транспорте высоковязких жидкостей.

На начальном участке трубопровода от температуры закачиваемой жидкости ( $T_H$ ) до температуры начала проявления вязкогас-

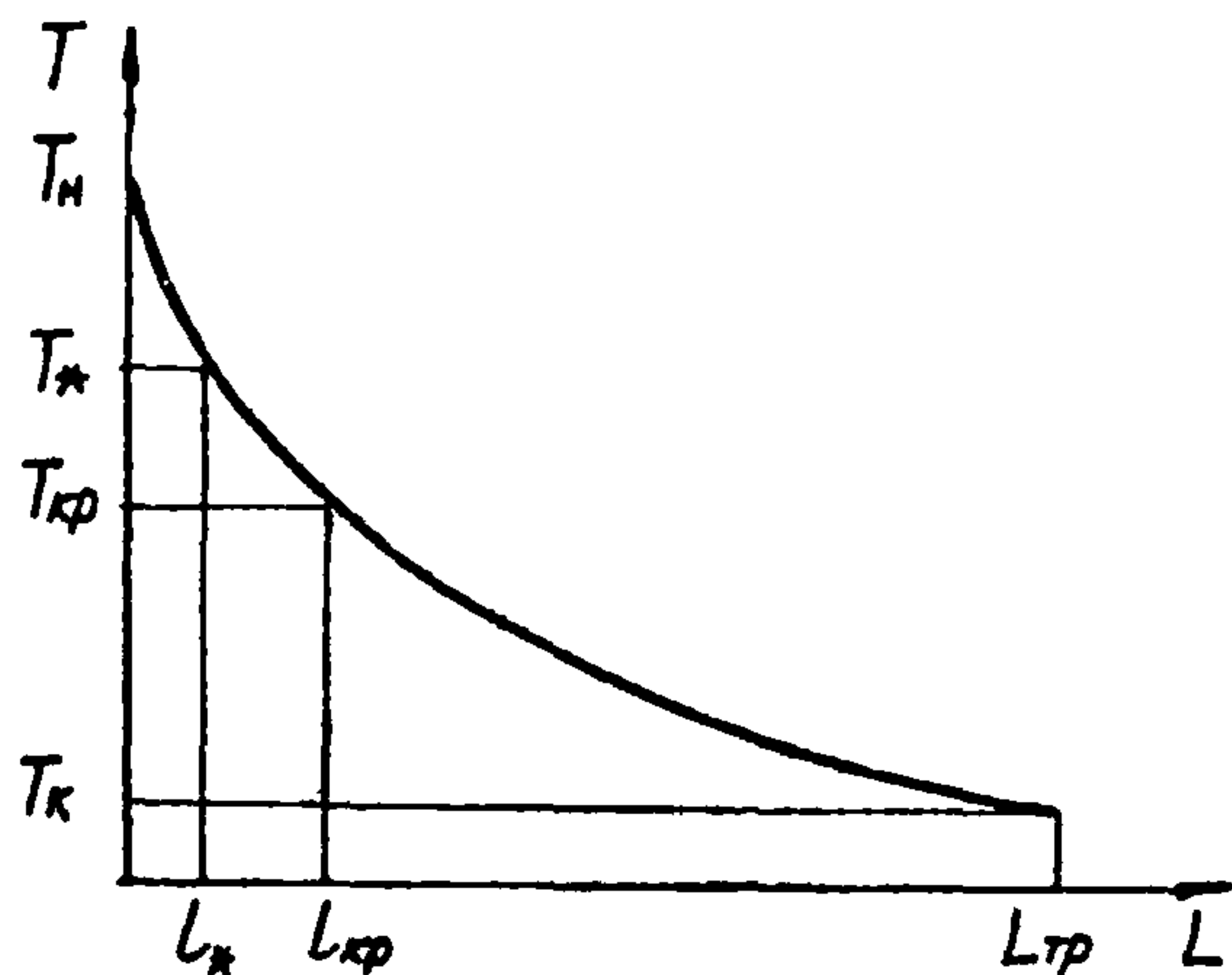


Рис.4 Изменение температуры жидкости по длине трубопровода

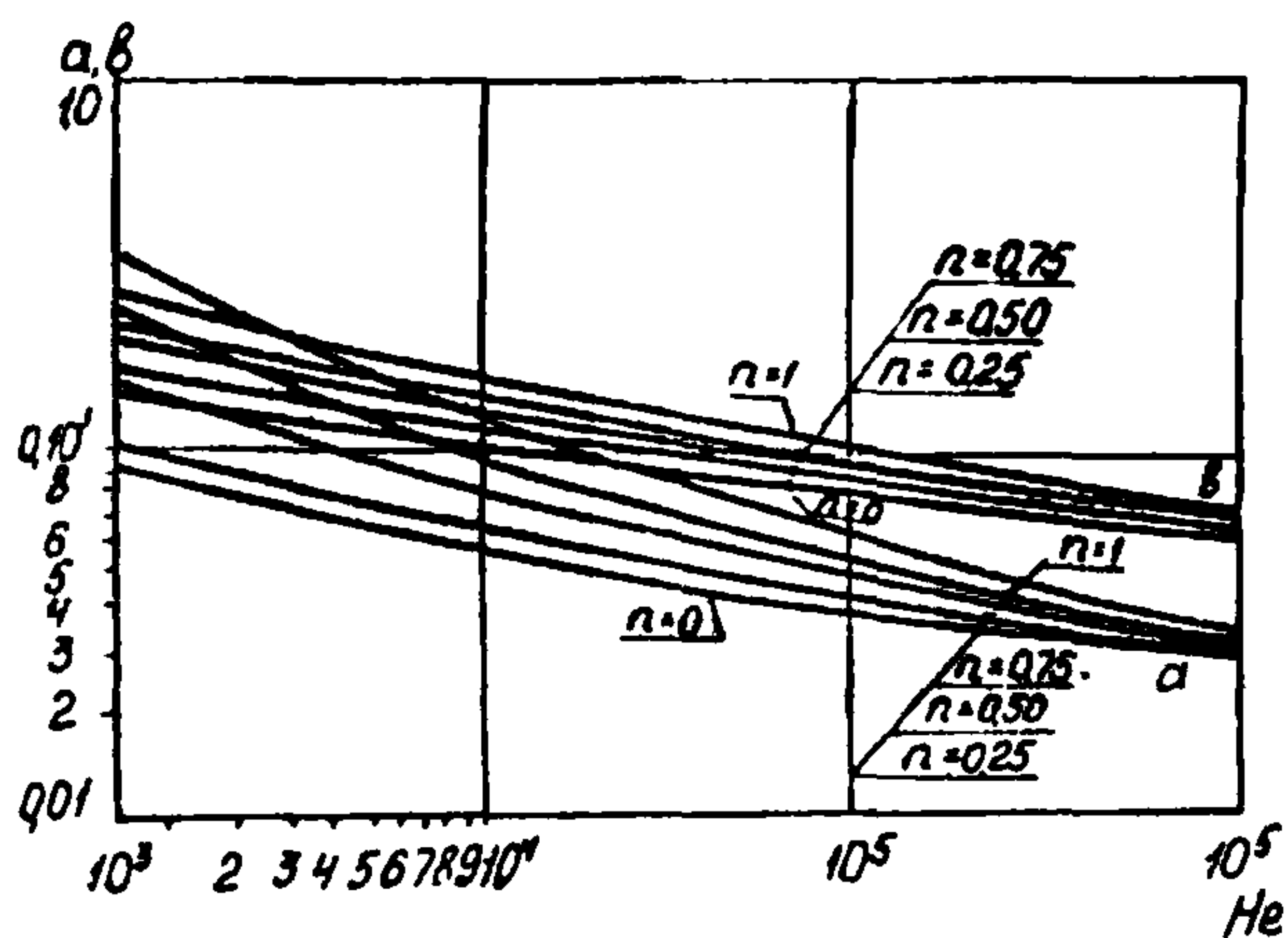


Рис. 5 Значения коэффициента  $\alpha$  и показателя степени  $\beta$  в зависимости от параметра Хедстрема и показателя поведения жидкости

тических свойств ( $T_*$ ) наблюдается турбулентный режим ньютона-ской жидкости.

Дальнейшее падение температуры до критических параметров потока ( $T_* - T_{kp}$ ) происходит при турбулентном режиме неньютоновской жидкости.

И на конечном участке, от  $T_{kp}$  до  $T_k$ , неньютоновская жидкость течет при ламинарном режиме.

### Надземная прокладка

Значение температуры жидкости в сечении трубопровода на любой момент времени в период пуска и выхода на стационарный режим также определяется по формуле (15). При этом параметры, входящие в эту формулу, имеют следующие значения:

$$K_\infty = \frac{\lambda_{H3}}{R_2} \left( \frac{B_{i1} \cdot B_{i2}}{B_{i1} + B_{i2} + B_{i1} \cdot B_{i2} \ln \frac{R_{H3}}{R_2}} \right), \quad (28)$$

где  $B_i$  - критерий Био:

$$B_{i1} = \frac{\alpha_1 R_2}{\lambda_{H3}}; \quad B_{i2} = \frac{\alpha_{2,0} R_{H3}}{\lambda_{H3}}; \quad B_{i1}' = \frac{\alpha_1 \cdot \delta_{H3}}{\lambda_{H3}};$$

$$K_t = 2\alpha_1 \cdot M \cdot \delta_{H3}^2;$$

$$M = \frac{25}{N} \left[ B_{i1}' (3R_2 + 5R_{H3}) + 12(R_2 + R_{H3}) \right];$$

$$N = \delta_{H3}^2 \left[ (B_{i1}')^2 (5R_2 + 11R_{H3}) + 10B_{i1}' (3R_2 + 5R_{H3}) + 60(R_2 + R_{H3}) \right];$$

$$\chi = \alpha_{H3} \cdot \rho;$$

$$\rho = \frac{10}{N} \left[ (B_{i1}')^2 (4R_2 + R_{H3}) + 12B_{i1}' \cdot R_2 \right].$$

Коэффициент теплоотдачи от наружной поверхности трубопровода в воздух рассчитывается по формуле (24). При этом в диапазоне изменения температур воздуха  $-40^{\circ}\text{C} \leq T_a \leq +40^{\circ}\text{C}$  и  $2 \cdot 10^5 > Re_a > 10^3$  конвективная составляющая определяется по формуле:

$$\alpha_{vk} = 0,221 \frac{\lambda_d}{D_{H3}} \left( \frac{V_a \cdot D_{H3}}{v_a} \right)^{0,6}. \quad (29)$$

Характеристики сухого воздуха при давлении 0,0981 МПа приведены в таблице 5 (см. приложение).

Для трубопроводов, защищенных от воздействия ветра, коэффициент теплоотдачи  $\alpha_{dk}$  определяется по формуле свободной конвекции:

$$\alpha_{dk} = 0,53 \frac{\lambda_d}{D_{H3}} \left( Gr \cdot Pr \right)^{0,25}. \quad (30)$$

Коэффициент теплоотдачи радиацией определяется по формуле (26), в которой принимается температура поверхности грунта, равная температуре поверхности изоляции.

При вынужденной конвекции можно приближенно принимать

$$\alpha_{vo} \approx \alpha_{vk}.$$

В общем случае допускается принимать  $\alpha_{vo}$  в пределах 2-5  $\text{Вт}/\text{м}^2$  град.

#### 4.2. Гидравлический расчет

Потери напора на трение на участке трубопровода при любом режиме течения жидкости, подчиняющейся реологическому закону Балкли-Гершеля, определяются по следующей формуле /13/:

$$H_f = \beta_n \frac{Q^{2-2n+6p}}{5-4n+3np} \cdot \left( \frac{K_n}{Q} \right)^6 \cdot l_j \cdot \Delta e_t \cdot \Delta r, \quad (31)$$

где  $\beta_n = \frac{8\alpha}{\pi^2 g} \left\{ \frac{(2n+1)(5n+3)}{(3n+1)^2} \cdot \frac{g t^{12}}{192} \left[ \frac{8(3n+1)}{\pi n} \right]^n \right\}^6, \quad (32)$

$\Delta_{e,t}$  - поправка на неизотермичность и нестационарность процесса в период пуска по длине трубопровода

$\Delta_r$  - поправка на неизотермичность по радиусу трубы в период пуска;

$$\Delta_{e,t} = \frac{1}{5} \sum_{i=1}^5 \left\{ C_1 \cdot C_3 (M_i - C_4) + C_5 \frac{N_i}{3n+1} \left[ n + \right. \right. \\ \left. \left. + \sqrt{(2n+1)^2 + \frac{C_2 \cdot C_3}{C_5 \cdot N_i} (M_i - C_4)} \right] \right\}^8 .$$

Здесь

$$C_1 = \left[ \frac{\pi^n}{8(3n+1)} \cdot \frac{D_1^3}{Q} \right]^n ;$$

$$C_2 = \frac{n^{n+1} (3n+1)^{1-n} \cdot \pi^n \cdot \left( \frac{D_1^3}{Q} \right)^n}{2^{3n-1}} ;$$

$$C_3 = \frac{\tau_{\alpha_k} e^{-\theta T_{\text{ест.0}}}}{K_k} ;$$

$$C_4 = e^{-BZ_n} ; \quad C_5 = e^{UZ_n} ;$$

$$N_i = e^{-UZ_n Q_i} ; \quad M_i = e^{-BZ_n Q_i} ;$$

$$\theta_i = \frac{T - T_{\text{ест.0}}}{T_H - T_{\text{ест.0}}} = e^{-\frac{K_t \pi D_1}{QQC} R_i l_i} \left[ 1 - e^{-x(t - \frac{R_i l_i}{W})} \right] x$$

$$\times \left( 1 - e^{-\frac{K_t \pi \cdot D_1}{QQC} R_i l_i} \right) ,$$

где  $P_i$  - приведенные числа Чебышева.

Поправка  $\Delta_f$  рассчитывается по формулам (41), (43) или (46). При этом в ориентировочных расчетах температуру стенки ( $T_w$ ) трубы в период пуска принимают на 10-15 °С ниже температуры потока ( $T_f$ ).

Значения коэффициентов  $\alpha$  и  $\beta$ , характеризующих режим течения жидкости, следует принимать следующими.

При ламинарном режиме течения нелинейно-вязкопластичной, бингамовской, псевдопластичной и ньютоновской жидкостей  $\alpha = 64$ ,  $\beta = 1$ .

При турбулентном режиме течения нелинейно-вязкопластичной жидкости эти коэффициенты определяются по формулам / 9 /:

$$\alpha = (9521 - 175n + 4409n^2)H_e^{-(Q137 + 0,242n)}, \quad (33)$$

$$\beta = (0,108 + 0,764n)H_e^{-(Q098 + Q161n - Q064n^2)}, \quad (34)$$

или по рис. 5.

Формулы (33) и (34) справедливы как для бингамовских, так и для псевдопластичных жидкостей. При этом для бингамовского пластика следует принимать  $n = 1$ , а для псевдопластика  $H_e = 10^3$ .

Для турбулентного режима течения ньютоновской жидкости

$$\alpha = 0,3164, \quad \beta = 0,25.$$

Потери напора на трение в трубопроводе составляются из потерь напора на трение на отдельных участках с соответствующим режимом течения.

В приложениях 2-4 приведены программы расчета пуска трубопроводов при подземной и надземной прокладках.

## 5. ОПРЕДЕЛЕНИЕ ВРЕМЕНИ БЕЗОПАСНОЙ ОСТАНОВКИ ТРУБОПРОВОДА

Под временем безопасной остановки трубопровода понимается время, после которого величина давления сдвига нефти не превышает допустимое давление на данном трубопроводе. Величина допустимого давления определяется либо располагаемым давлением насосной станции, либо прочностью трубы.

Максимальные потери на трение будут наблюдаться в момент пуска, когда весь трубопровод заполнен остывшей нефтью. Допустимая температура нефти в остановленном трубопроводе принимается на 3-5 градусов выше температуры застывания для предотвращения "замораживания" трубопровода.

### 5.1. Расчет времени остановки подземного трубопровода

Безопасное время остановки подземного трубопровода при охлаждении нефти от  $T_H^1$  до  $T$  определяется по выражению:

$$t_{без} \leq \frac{1}{\varphi_1} \ln \left[ \left( \frac{\psi_1 - \psi_2}{\psi_1 + \psi_2} \right) \left( \frac{T - T_o}{T_H^1 - T_o} \right) \right], \quad (35)$$

где

$$\psi_{1,2} = \frac{-(\psi_1 + \psi_2 + \chi) \pm \sqrt{(\psi_1 + \psi_2 + \chi)^2 - 4\psi_1 \cdot \chi}}{2};$$

$$\psi_1 = \frac{2K_\infty}{cQR_1}; \quad \psi_2 = \psi_1 \left( 2,5 + \frac{5}{\alpha_0 \cdot \alpha_{B,0}} \cdot \frac{\lambda_w}{\sqrt{h_o^2 - R_1^2}} \right).$$

Остальные обозначения параметров и методы их определения приведены в разделе 4.1. При этом значение внутреннего коэффициента теплоотдачи, входящего в зависимость для  $K_\infty$ , определяется следующим образом:

$$\alpha_{ост} = S \frac{\lambda_w}{D_1} (G_{r_*} \cdot \rho_{r_*})^\alpha, \quad (36)$$

где коэффициенты  $S$  и  $\alpha$  принимаются равными 1,18 и 0,13 при  $10^{-3} \leq G_{r_*} \cdot \rho_{r_*} \leq 5 \cdot 10^{-3}$ , 0,54 и 0,25 при  $5 \cdot 10^{-3} < G_{r_*} \cdot \rho_{r_*}$

$$< 2 \cdot 10^7; 0,14 \text{ и } 0,33 \text{ при } \beta_{r*} \cdot R_* > 2 \cdot 10^7.$$

### 5.2. Расчет времени остановки надземного трубопровода

Безопасное время остановки надземного теплоизолированного трубопровода при заданном перепаде температур  $T'_H - T$  определяется по зависимости:

$$t_{stop} \leq \frac{1}{\varphi_1} \ln \left[ \left( \frac{\varphi_1 - \varphi_2}{\varphi_1 + x} \right) \left( \frac{T - T_B}{T'_H - T_B} \right) \right], \quad (37)$$

где

$$\varphi_{12} = \frac{-(\psi_1 + \psi_2 + x) \pm \sqrt{(\psi_1 + \psi_2 + x)^2 - 4x \cdot \psi_1}}{2};$$

$$\psi_1 = \frac{2K_\infty}{C\rho R_1}; \quad \psi_2 = \frac{2}{\alpha_{rest}} \psi_1 \cdot K_t .$$

Остальные параметры рассчитываются по формулам раздела 4.1.

### 5.3. Гидравлический расчет

Определение потерь напора на трение при возобновлении перекачки производится по формулам стационарного режима с учетом изменения температуры нефти и ее свойств в результате остывания. Расчет производится по режимным участкам, определенным в соответствии с расчетом критической температуры.

Гидравлический расчет трубопроводов, перекачивающих нелинейно-вязкопластичную жидкость, для всех режимов течения проводится по формуле /13/:

$$H = \beta_* \frac{Q^{2-2\beta+\beta\ln}}{D_r^{5-4\beta+3\beta\ln}} \cdot \left( \frac{K_*}{Q} \right)^\beta \cdot L \cdot \Delta e \cdot \Delta r . \quad (38)$$

Значения  $A$ ,  $\beta$ ,  $n$  и  $Q$  определяются при среднеарифметической температуре потока жидкости на рассматриваемом участке.

#### Ламинарный режим

Для ламинарного режима течения нелинейно-вязкопластичных

жидкостей  $\alpha = 64$ ,  $\beta = 1$  и формула (38) с учетом (32) примет вид:

$$H = \frac{2^{3(n+1)} \cdot (2n+1)(5n+3)}{(5n+1)^n \cdot g \cdot 3} \cdot \frac{Q^n}{D_1^{3n+1}} \cdot \frac{K_* \cdot L \cdot \Delta_\ell \cdot \Delta r}{\rho} \cdot (39)$$

Поправку на неизотермичность по длине трубопровода в уравнении следует рассчитывать по следующей зависимости:

$$\Delta_\ell = \frac{\rho U Z_*}{8 \dot{W}_{U_{\text{изм}}}} \left\{ I_0 \left[ E_i(-BZ)_{Z_K}^{Z_H} - \dot{W}_{U_{\text{изм}}} e^{-BZ_*} \right] + \right. \\ \left. + \frac{8}{3n+1} \left[ n E_i(-UZ)_{Z_K}^{Z_H} + a_1 E_i(-\beta_1 Z)_{Z_K}^{Z_H} \right] \right\} \quad (40)$$

Здесь  $E_i$  - интегральная показательная функция, значения которой приведены в /16/:

$$E_i(-z)_{Z_K}^{Z_H} = E_i(-Z_H) - E_i(-Z_K) ;$$

$$a_1 = \sqrt{(2n+1)^2 + \frac{I_0 n (3n+1)}{4}} ;$$

$$\beta_1 = U + \frac{n(3n+1) I_0 (B-U)}{8a_1^2} ;$$

$$I_0 = \frac{8}{(6n+2)^n} \left( \frac{D_1}{W} \right)^n \cdot \frac{\sigma_a}{K} \Big|_{T=T_{\text{есто}}} .$$

Показатель крутизны консистентограммы определяется по следующей зависимости:

$$U = \frac{1}{T_2 - T_1} \ln \frac{K_1}{K_2} ,$$

где  $K_1$  и  $K_2$  - значения меры консистенции, соответствующие температурам  $T_1$  и  $T_2$ , входящим в рабочий интервал температур.

Предельное напряжение сдвига в зависимости от температуры определяется по формуле (7).

Поправка на неизотермичность по радиусу трубопровода определяется по формуле М.А.Михеева с учетом нелинейно-вязкопластичных свойств жидкости:

$$\Delta_r = \left( \frac{\gamma_{\text{эфф}} \cdot w}{\gamma_{\text{эфф}} \cdot f} \right)^{1/3} \left[ 1 + 0,22 \left( \frac{Gr_* \cdot Pr_*}{Re_*} \right)^{0,15} f \right], \quad (41)$$

где  $\gamma_{\text{эфф}} = \frac{\kappa}{64} \left( \frac{6n+2}{n} \right)^n \left( \frac{D_1}{w} \right)^{n-2} \cdot \frac{2}{3} \frac{(2n+1)(5n+3)}{(3n+1)^2} \times$

$$\times \left\{ 1 + \frac{8}{3n+1} \left[ n + \sqrt{(2n+1)^2 + \frac{In(3n+1)}{4}} \right] \right\}.$$

Индексы  $w$  и  $f$  обозначают, что реологические параметры принимаются при среднеарифметической температуре стенки и потока нефти по длине трубопровода:

$$T_w = 0,5(T_{H_w} + T_{K_w}); \quad T_f = 0,5(T_{H_f} + T_{K_f}).$$

Турбулентный режим

Для турбулентного режима течения нелинейно-вязкопластичных жидкостей в трубопроводе расчетными формулами являются зависимости (38) и (32).

Поправка на неизотермичность по длине трубопровода определяется:

$$\Delta_e = \frac{e^{BUZ_*}}{g^B \bar{W}_{T_{\text{typ}}}} \left[ f_i(Z_K) \right]^{B-1} \left\{ [f_i(Z_K) - BZ_K f'(Z_K)] \ln \frac{Z_H}{Z_K} + Bf'(Z_K)(Z_H - Z_K) \right\}, \quad (42)$$

где

$$f_i(Z_K) = \frac{I_o}{\varphi_i} \left( e^{-BZ_K} - e^{-BZ_*} \right) + \frac{8}{3n+1} e^{-UZ_K} \left\{ n + \sqrt{(2n+1)^2 + \frac{In(3n+1)}{4}} \right\} + \frac{I_o n (3n+1)}{4\varphi_i} \left[ e^{-(B-U)Z_K} - e^{UZ_K} \cdot e^{-BZ_*} \right];$$

$$f'(Z_K) = -\frac{I_o}{\varphi_i} B e^{-BZ_K} - \frac{8U}{3n+1} e^{-UZ_K} \left\{ n + \sqrt{(2n+1)^2 + \frac{n(3n+1)I_o}{4\varphi_i}} \right\}$$

$$\left. \frac{x \left[ e^{-(B-U)Z_K} - e^{UZ_K} \cdot e^{-\theta Z_K} \right]}{\left[ e^{-(B-U)Z_K} - e^{UZ_K} \cdot e^{-\theta Z_K} \right]} \right\} - \frac{I_0 n}{\varphi_1} \cdot \frac{[B-U]e^{-\theta Z_K} + Ue^{-\theta Z_K}}{\sqrt{(2n+1)^2 +}} \\ + \frac{I_0 n (3n+1)}{4\varphi_1} \left[ e^{-(B-U)Z_K} - e^{UZ_K} \cdot e^{-\theta Z_K} \right]; \quad \varphi_1 = 1 - e^{-\theta Z_K}.$$

Поправку на неизотермичность по радиусу трубы при турбулентном течении нелинейно-вязкопластичных жидкостей следует определять по формуле М.А.Михеева с учетом нелинейно-вязкопластичных свойств жидкости:

$$\Delta_r = \left( \frac{\gamma \rho \cdot w}{\gamma \rho \cdot f} \right)^{1/3}. \quad (43)$$

При перекачке подогретой нелинейно-вязкопластичной жидкости на начальных участках до момента значительного выделения парафина и проявления нелинейно-вязкопластичных свойств имеет место течение ньютоновской жидкости. Для этого участка имеем  $\alpha = -0,3164$ ,  $\beta = 0,25$  (турбулентный режим течения в области действия закона Блазиуса) формула (38) с учетом (32) переходит в зависимость В.И.Черникова для ньютоновской жидкости:

$$H = \frac{0,241}{g} \cdot \frac{Q^{1.75}}{D_{t,475}^{4.75}} V^{0.25} \cdot L \cdot \Delta_e \cdot \Delta_r. \quad (44)$$

Поправка на неизотермичность по длине трубопровода в формуле (44) рассчитывается по зависимости:

$$\Delta_e = \frac{e^{0.25 U Z_H}}{W_{U_{TUR}}} \left[ E_i(-0.25 U Z_H) - E_i(-0.25 U Z_K) \right]. \quad (45)$$

Поправка на неизотермичность по радиусу трубы в формуле (44) определяется следующим образом:

$$\Delta_r = (\nu_w / \nu_f)^{1/3}. \quad (46)$$

#### 5.4. Графоаналитический метод

Определение безопасного времени остановки трубопровода про-

изводится следующим образом. Для остановленного участка трубопровода с определенным шагом (через 2-5°С) по температуре рассчитывается время остывания жидкости от начальной температуры, соответствующей моменту остановки, до конечной, принимаемой на 3-5 градусов выше температуры застывания жидкости. Затем строятся графики зависимости  $T=f(t)$  для начального и конечного сечения трубопровода. Одновременно производится теплогидравлический расчет трубопровода с переменной начальной температурой в голове трубопровода, в результате чего определяются температура жидкости в конце участка и потеря напора на трение на участке.

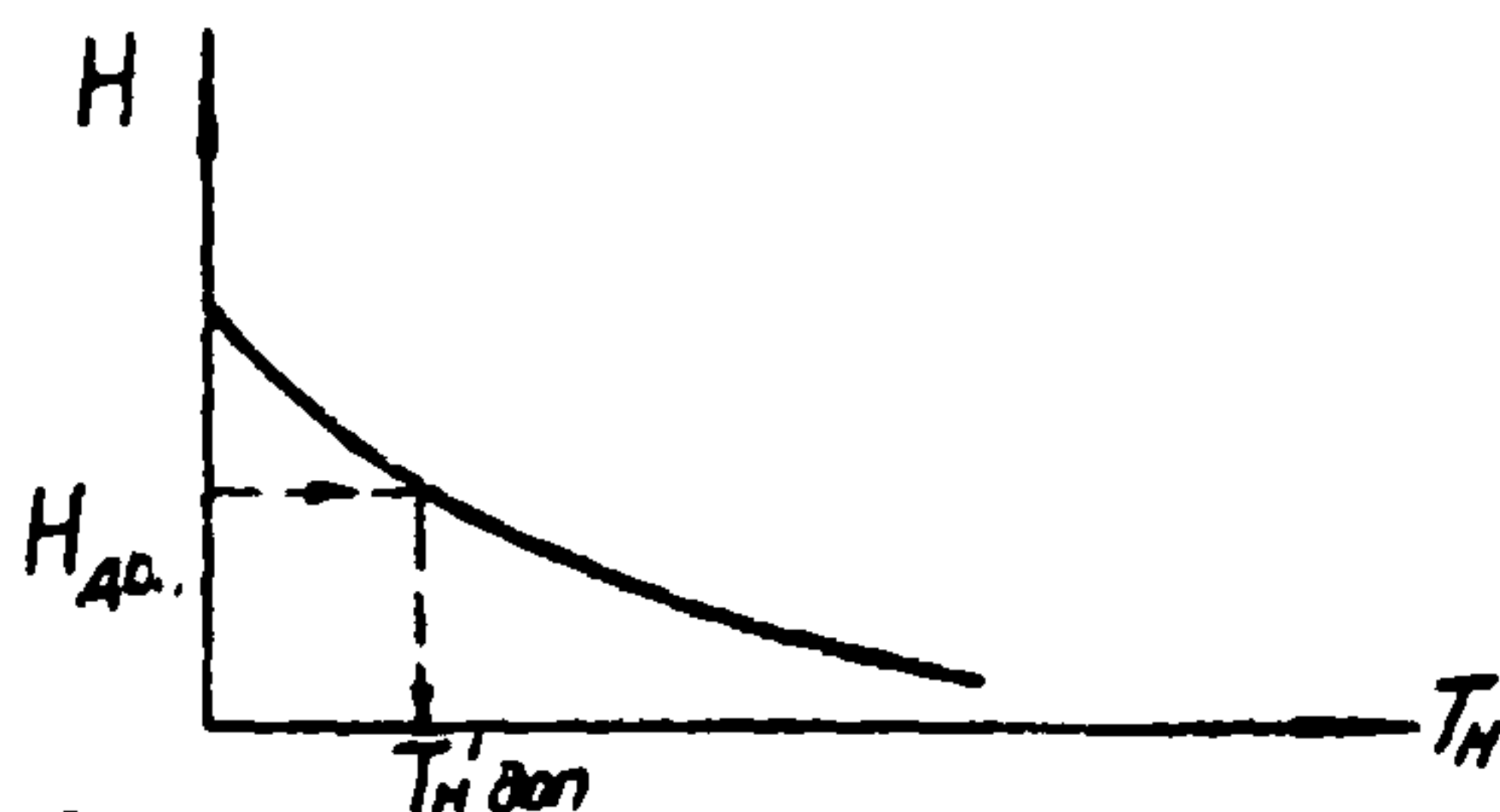


Рис. 6 Зависимость потерь напора на трение от начальной температуры жидкости

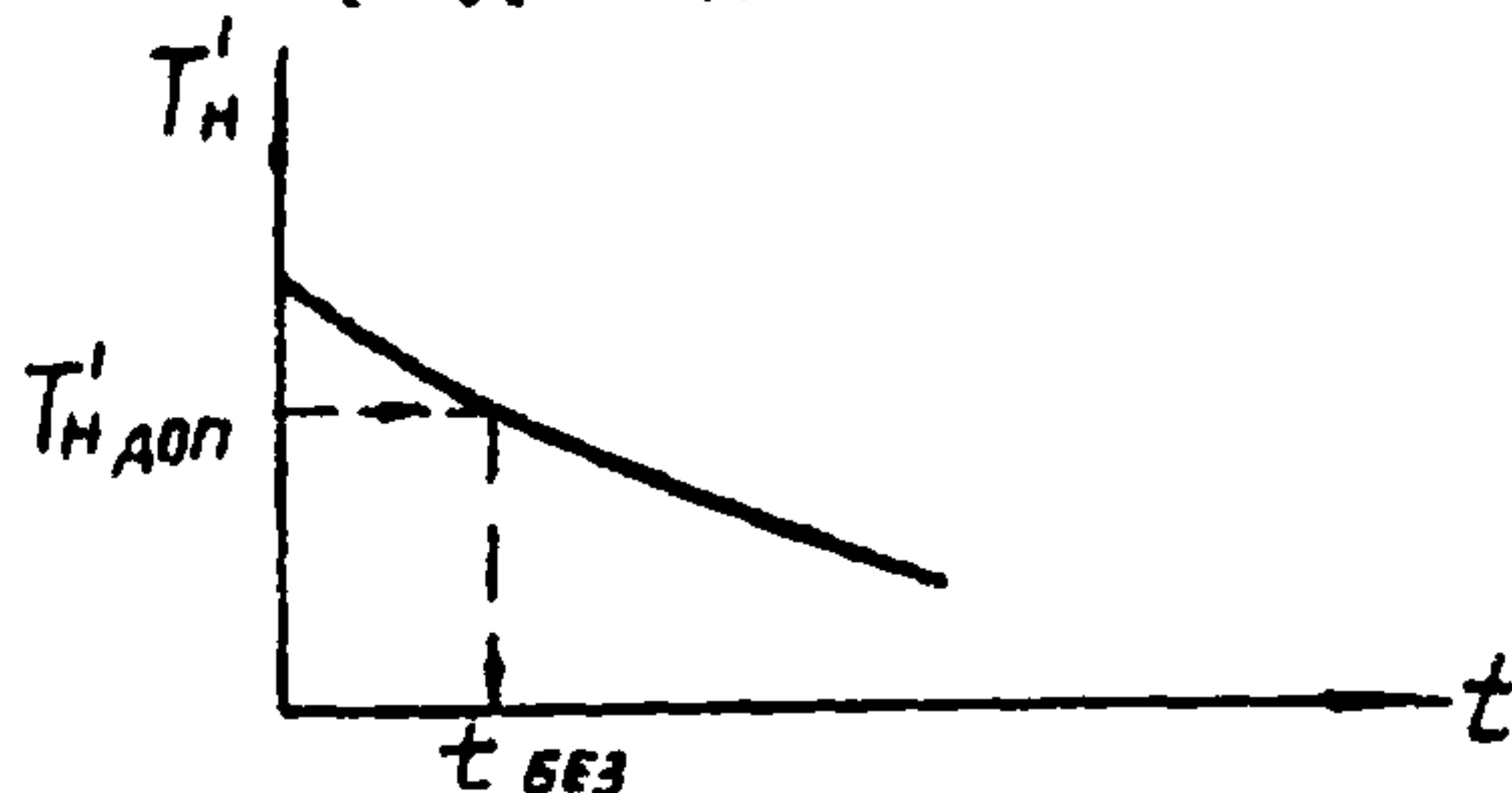


Рис.7 Остывание жидкости в начале трубопровода во времени

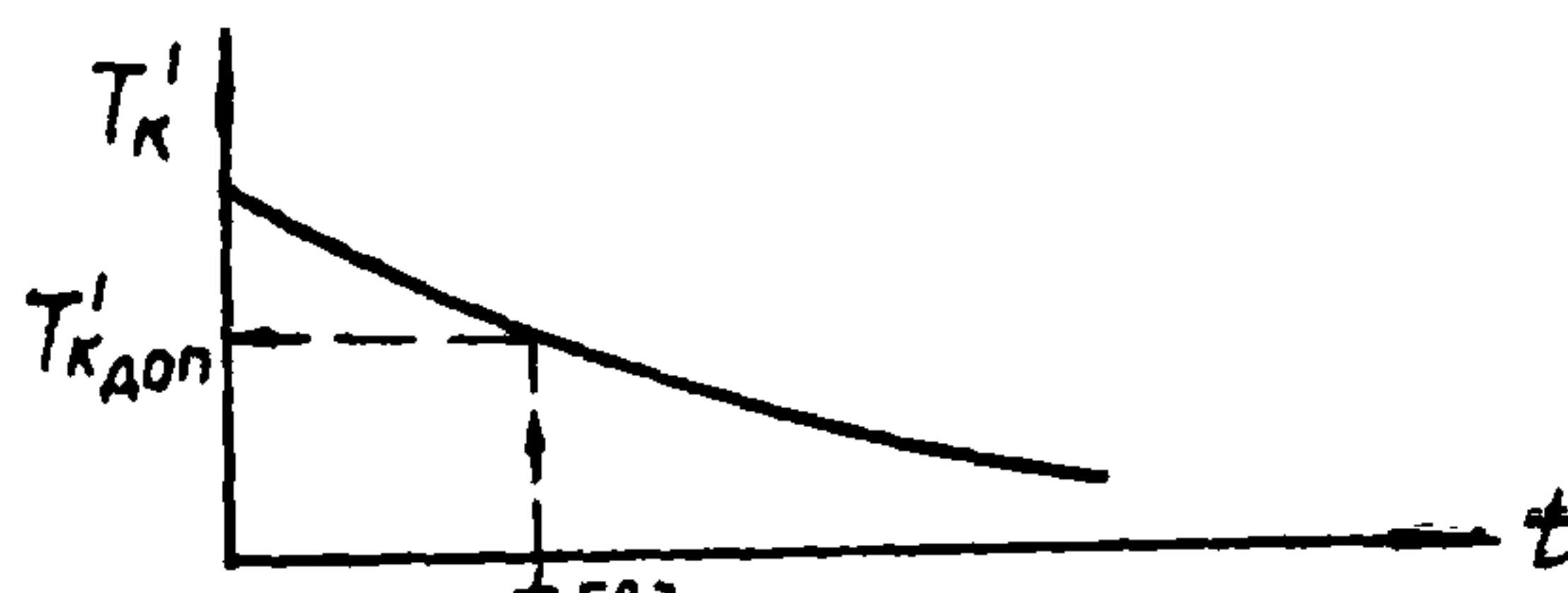


Рис. 8 Остывание жидкости в конце трубопровода во времени

Построив график  $H=f(T'_H)$ , откладывается допустимый напор с учетом возможности насосно-силового оборудования и несущей способности трубопровода и проводится параллельная оси абсцисс до пересечения с кривой (рис. 6). Точка пересечения дает значение температуры, до которой может застывать жидкость в начале трубопровода ( $T'_{H\text{дол}}$ ). Затем на оси ординат графика  $T'_H = f(t)$  (рис. 7) откладывается полученное значение  $T'_{H\text{дол}}$  и проводится параллельная оси абсцисс до пересечения с кривой . Точка пересечения даст значение безопасного времени остановки трубопровода ( $t_{без}$ ). По графику зависимости  $T'_K = f(t)$  (рис.8), аналогично предыдущему, определяем по значению  $t_{без}$  величину  $T'_{K\text{дол}}$ , соответствующую значению температуры жидкости на момент окончания остановки в конечном сечении трубопровода и сравниваем с величиной, полученной в теплогидравлическом расчете (при исходной  $T_H = T'_{H\text{дол}}$ ) и величиной, соответствующей минимальной температуре остыивания ( $T_{тил} = T_{заст} + 3-5$  град). При удовлетворительной сходимости и непротиворечивости значений расчет считается законченным.

## 6. ОПРЕДЕЛЕНИЕ ОРЕОЛОВ ПРОТАИВАНИЯ ГРУНТОВ ВОКРУГ ТРУБОПРОВОДА И ТЕПЛОВОЙ РАСЧЕТ

Изменение температуры нефти в трубопроводе, проложенном в многолетнемерзлом грунте определяется по уравнению

$$T_K = T_{ест.0} + (T_H + T_{ест.0}) e^{-\frac{K_{тр} \cdot \pi D_1 L}{Q \rho_x \cdot C_x}}. \quad (47)$$

Для нахождения полного коэффициента теплопередачи  $K_{тр}$  определяется динамика протаивания грунтового массива вокруг теплоизолированного трубопровода по формуле:

$$\tau = \frac{\rho}{4} \left\{ \left[ 2 \left( \frac{r}{R_{нз}} \right) \ln \frac{r}{R_{нз}} + (2n-1) \left[ \left( \frac{r}{R_{нз}} \right)^2 - 1 \right] + \right. \right.$$

$$+4Fe^{2m}\left\{E_i\left[2\left(\ln\frac{r}{R_{H3}}-m\right)\right]-E_i(-2m)\right\}| \right\} . \quad (48)$$

а) Граница проталвания над трубой определяется выражением (48) при коэффициентах:

$$\rho_i = \frac{R_{H3}^2 \cdot \bar{Q}_\varphi}{\lambda_T \cdot T_{Tr} - \lambda_m \cdot T_B} ;$$

$$m_0 = \frac{\lambda_T T_{Tr} \ln(h_0/R_{H3}) + \frac{\lambda_m \cdot \lambda_T}{\lambda_{H3}} \cdot T_B \ln(R_{H3}/R_2)}{\lambda_T T_{Tr} - \lambda_m T_B}$$

$$n_0 = m - \left( \ln \frac{h_0}{R_{H3}} - \frac{\lambda_T}{\lambda_{H3}} \ln \frac{R_{H3}}{R_2} \right) ;$$

$$F_0 = m^2 - \left( \ln \frac{h_0}{R_{H3}} - \frac{\lambda_T}{\lambda_{H3}} \ln \frac{R_{H3}}{R_2} \right) m - \frac{\lambda_T}{\lambda_{H3}} \ln \frac{R_{H3}}{R_2} \ln \frac{h_0}{R_{H3}} .$$

б) Граница проталвания под трубой, если на глубине  $h_m$   $T_m < 0$ , определяется выражением (48) при коэффициентах:

$$\rho = \frac{R_{H3}^2 \bar{Q}_\varphi}{\lambda_T T_{Tr} - \lambda_m \cdot T_m} ;$$

$$m_H = \frac{\lambda_T T_{Tr} \ln \frac{h_m - h_0}{R_{H3}} + \frac{\lambda_m \cdot \lambda_T}{\lambda_{H3}} T_m \ln(R_{H3}/R_2)}{\lambda_T T_{Tr} - \lambda_m \cdot T_m}$$

$$n_H = m - \left( \ln \frac{h_m - h_0}{R_{H3}} - \frac{\lambda_T}{\lambda_{H3}} \ln \frac{R_{H3}}{R_2} \right) ;$$

$$F_H = m n - \frac{\lambda_T}{\lambda_{H3}} \ln(R_{H3}/R_2) \cdot \ln \frac{h_m - h_0}{R_{H3}} .$$

в) Динамика проталвания под трубой в случае, если  $T_m \approx 0$  определяется по формуле (48) к коэффициентам:

$$\rho = \frac{R_{H3}^2 \bar{Q}_\varphi}{\lambda_T T_{Tr}} ; \quad m_H = \ln \frac{h_m - h_0}{R_{H3}} ;$$

$$r_H = \frac{\lambda_T}{\lambda_{K3}} \ln \frac{R_{K3}}{R_2}; \quad F_H = 0.$$

Величина предельной границы оттаивания для случаев  $\alpha$  и  $\delta$  определяется из условия

$$r_\delta = R_{K3} e^{m_\delta}, \quad r_H = R_{K3} e^{m_H};$$

в случае  $\delta$

$$R_2 = \infty$$

Определив радиусы проталывания, находим изменение температуры жидкости при наличии талой зоны вокруг трубопровода по зависимости (47), где

$$K_{tp} = \frac{\lambda_T \cdot \lambda_{K3}}{r_\delta (\lambda_{K3} \ln \frac{r_\delta}{R_{K3}} + \lambda_T \ln \frac{R_{K3}}{R_2})} +$$

$$+ \frac{\lambda_T \lambda_{K3}}{r_H (\lambda_{K3} \frac{r_\delta}{R_{K3}} + \lambda_T \frac{R_{K3}}{R_2})};$$

$$\bar{Q}_\phi = q_\phi \cdot K_{tp} (\omega - \omega_{K3}).$$

## СПИСОК ЛИТЕРАТУРЫ

1. Кусаков М.М. Методы определения физико-химических характеристик нефтяных продуктов. М.-Л., ОНТИ, НКТП, СССР, 1936.
2. Черников В.И. Перекачка вязких и застывающих нефтей. М., Гостоптехиздат, 1959.
3. Нежевенко В.Ф., Кадрова Р.И. Состав твердых парафинов нефти Куйбышевской области. В сб. Борьба с отложениями парафина. М., Недра, 1965.
4. Ашумов Г.Г. Азербайджанские нефти. Баку, АН АзССР, 1961.
5. Павлова С.Н. и др. Нефти восточных районов СССР. М., Гостоптехиздат, 1962.
6. Павлова С.Н. и др. Новые нефти восточных районов СССР. М., Химия, 1967.
7. Методика исследования взаимодействия трубопроводов с окружающей средой на опытных участках трубопроводов. ОНТИ ВНИИСТА, М., 1973.
8. Губин В.Е., Тонконокуров Б.А. Критические параметры потока при течении нелинейно-вязкопластичных нефтей и нефтепродуктов по трубопроводам. Труды ВНИИСПТнефть, вып. 12. Уфа, 1975.
9. Гостев Н.М. Гидравлический расчет трубопроводов при изотермической перекачке неильтоновских жидкостей. Транспорт и хранение нефти и нефтепродуктов. Труды ВНИИСПТнефть. Уфа, 1980
10. Тутуков П.И., Тонконокуров Б.А., Гостев Н.М., Кацнельсон Т.Е., Александрова С.Н. Термический режим пуска подземного теплоизолированного трубопровода с учетом влияния температурного поля грунта. Изв. ВУЗов "Нефть и газ", № 10, 1983 г.
11. Яблонский В.С., Белоусов В.Д. Проектирование нефтегазопроводов. М., Гостоптехиздат, 1959.

12. Велли В.Я., Докучаев В.И., Федоров Н.Ф. Справочник по строительству на вечномерзлых грунтах. Л., Стройиздат. 1977.
13. Тонкошкуров Б.А., Шутов А.А., Мироненко Н.Я., Гостев Н.М., Стародубцева Р.А. Гидравлические параметры неизотермических трубопроводов при перекачке неильтоновских нефтей. Труды ВНИИСГнефть, вып. 18, 1977, с. 30-45.
14. Тугунов П.И., Новоселов В.Ф. Типовые расчеты при проектировании и эксплуатации нефтебаз и нефтепроводов. М., Недра, 1981.
15. Сегал Б.И., Семенджев К.Л. Пятизначные математические таблицы. М., Физматгиз, 1962.
16. Таблицы интегральной показательной функции. АН СССР. М., 1954.
17. Спиридонов В.В., Семенов Л.П., Пуриков А.С. Определение ореолов протавивания и промерзания грунтов вокруг теплоизолированного трубопровода в зависимости от времени. М., Труды ВНИИСГа, вып. 35, 1976, с. 9-12.
18. Щербакова Р.П., Снопова И.В. Применение пенополиуретанов для теплоизоляции трубопроводов. Обзоры зарубежной литературы. Сер. транспорт и хранение нефти и нефтепродуктов. М., ВНИИЭНГ, 1976.

## Приложение 1

## СПРАВОЧНЫЕ ТАБЛИЦЫ

Таблица I

Коэффициенты объемного расширения в зависимости от плотности при 20°C

Плотность $\rho$ , кг/м³	$\beta, ^\circ\text{C}$	Плотность $\rho$ , кг/м³	$\beta, ^\circ\text{C}$
700-720	0,001255	860-880	0,000782
720-740	0,001183	880-900	0,000734
740-760	0,001118	900-920	0,000688
760-780	0,001054	920-940	0,000645
780-800	0,000995	940-960	0,000604
800-820	0,000937	960-980	0,000564
820-840	0,000882	980-1000	0,000526
840-860	0,000831		

Таблица 2

Содержание парафина в некоторых нефтях

Название нефти	П, %	Название нефти	П, %
Андиканская	4-10	Мухановская	7-8
Арланская	3,0	Нефть о.Песчаный	14,7
Битковская	13,6	Озек-Суатская	17-26
Бориславская	10,0	Окаремская	16,2
Величавская	20,2	Ракаевская	4-8
Ганинская	14,8	Ромашкинская	5,0
Горская	10,5	Сользаводская	13,4
Гоусановская	6,3	Сухокумская	17,7

I	1 2 1	3	1 4
Жетыбайская	10-20	Туймазинская (девон)	3-3,5
Жирновская	4,6	Узенская	25-30
Котур-Теплинская	6,2	Хадыженская (тяжелая)	6,6
Кумдагская	18-20	Чекмагушская	4,5
Карабухурская	5-6	Москудинская	3,4
Минусинская	22	Красноярская (Оренбург. обл.)	4,4

Таблица 3

Коэффициент теплопроводности некоторых теплоизоляционных материалов

Название материала	Коэффициент теплопроводности, $\lambda$ Вт/м.град
Пенополиуретан	0,16
Пенополистирол	0,03
Стекловолокно	0,033
Пробка	0,043
Пеностекло	0,05
Перлит	0,07
ПСФ-ВНИИСТ	0,052

Таблица 4

Значения приведенной степени черноты поверхности трубы

Материал и вид поверхности	Приведенная степень черноты
Алюминий шероховатый	- 0,55
Железо Шероховатое	- 0,242
Железо литье необработанное	- 0,87 + 0,96
Сталь окисленная шероховатая	- 0,94 + 0,97

Таблица 5

## Теплофизические характеристики воздуха

Абсолютная температура К	Плотность, кг/м <sup>3</sup>	Коэффициент теплопровод λ Вт/м.град	Кинематическая вязкость, $\nu \cdot 10^8$ , м <sup>2</sup> /с	Параметр Прандтля
223	1,584	0,0204	0,256	0,728
233	1,515	0,0212	0,279	0,728
243	1,453	0,0220	0,300	0,723
253	1,395	0,0228	0,345	0,716
263	1,342	0,0236	0,355	0,712
273	1,293	0,0244	0,369	0,707
283	1,247	0,0251	0,393	0,705
293	1,205	0,0259	0,418	0,703
303	1,165	0,0267	0,444	0,701
313	1,128	0,0276	0,471	0,699
323	1,093	0,0283	0,499	0,698

Таблица 6

Расчетные значения теплофизических характеристик  
тальных и мерзлых грунтов

Объемная влажность массы грунта, доли единиц	Суммарная влажность	Коэффициент теплопроводности Вт/м·град						Объемная тепло- емкость, Дж/м <sup>3</sup>		
		пески		супеси		суглинки и глины		град		
1	2	3	4	5	6	7	8	9	10	
1,2	0,05	0,46	0,60	-	-	-	-	1190	1090	
1,2	0,10	0,72	0,92	0,44	0,52	-	-	1340	1130	
1,4	0,05	0,66	0,80	-	-	-	-	1380	1260	
1,4	0,10	1,01	1,25	0,60	0,80	0,51	0,79	1550	1320	

I	I	2	I	3	I	4	I	5	I	6	I	7	I	8	I	9	I	10
I,4	0,15		I,15	I,45	0,82		I,02	0,65	0,97	I720	I380							
I,4	0,20	-	-	-	0,97		I,22	0,75	I,09	I890	I450							
I,4	0,25	-	-	-	I,07		I,35	0,83	I,16	2060	I510							
I,6	0,05	0,87	I,06	-		-	-	-	-		I590	I430						
I,6	0,10	I,22	I,57	-		-	-	-	-		I800	I510						
I,6	0,15		I,45	I,86	I,08		I,28	0,83	I,14	I970	I550							
I,6	0,20		I,58	2,01	I,22		I,50	I,02	I,30	2180	I660							
I,6	0,25		I,64	2,II	I,35		I,67	..,II	I,44	2370	I720							
I,6	0,30	-		2,24	I,39		I,80	I,16	I,51	2560	I800							
I,6	0,35	-	-	-	I,5I		I,9I	I,22	I,57	2730	I870							
I,6	0,40	-	-	-			2,00	I,28	I,64	2940	I950							
I,6	0,60	-	-	-	-		-	-	I,74	-	2100							
I,8	0,10		I,5I	I,86	-		-	-	-		2010	I680						
I,8	0,15		I,80	2,20	I,38		I,52	I,16	I,43	2220	I760							
I,8	0,20		I,9I	2,44	I,55		I,76	I,30	I,60	2430	I850							
I,8	0,25		2,03	2,59	I,86		I,97	I,44	I,77	2690	I930							
I,8	0,30	-		2,89	I,72		2,II	I,48	I,87	2900	2010							
I,8	0,35	-	-	I,75			2,24	I,54	I,93	3100	2100							
I,8	0,40	-	-	-			2,32	I,62	2,00	3340	2180							
I,8	0,60	-	-	-	-		-	-	2,09	-	2350							
2,0	0,15	2,04	2,55	I,62			I,74	-	-		2480	I970						
2,0	0,20	2,32	2,8I	I,8I			2,03	I,44	-		2480	2060						
2,0	0,25	2,62	3,I6	2,0I			2,24	I,57	I,9I	2960	2140							
2,0	0,30	-	-	2,09			2,44	I,67	2,03	3230	2220							
2,0	0,35	-	-	-	-		-	I,77	2,16	3440	2330							

## Приложение 2

## Программа BODEN

```

      *-----*-----*-----*-----*-----*-----*-----*-----*
      C*          ТЕПЛОГИДРАВЛИЧЕСКИЙ РАСЧЕТ          *
      C*          ПУСКА ТРУБСПРОВОДА                *
      C*          ( ПОДЗЕННАЯ ПРСКЛАДКА )           *
      *-----*-----*-----*-----*-----*-----*-----*-----*
      IMPLICIT REAL(K,L)
      REAL M
      COMMON D1,AK,UK,N,Y,ACF
      COMMON /G/R,TB,SHY,ACRF,X;A,MC,P
      COMMON /E/ARO,BRO,TH,TF,AN,SN,BC,EC,CP,AL,RL,LNF,TBP
      COMMON /F/CF,AKF,ULF,BEOF,PRS,PRV,TAYBF,TAYBI,B,ANAF
      DIMENSION D1(6),D2(6),H0(16),TN1(16),LTR(10),LGR(3),R(3)
      DIMENSION L17(5),B12(10),AGR(5),TB(12)
      DIMENSION G((16),Y1(30),P)S,CP(3)
      READ 110,(D,ITN,ILC,IL),18,14,1TB,16,1Y
      READ 111,(H0(1)),I=1,IC
      READ 111,(D1(1),I=1,IC)
      READ 111,(D2(1),I=1,IC)
      READ 119,(TN1(1),I=1,ITN)
      READ 115,(LTR(1),IP1,IL)
      READ 114,(LGR(1),IP1,ILC)
      READ 116,(L17(1),I=1,IL17)
      READ 116,(B12(1),I=1,10)
      READ 117,(AGR(1),IP1,IA)
      READ 118,(TB(1),I=1,ITB)
      READ 119,(G(1),I=1,IG)
      READ 120,(Y(1),I=1,1Y)
      READ 122,TTBP
      READ 121,SK,AK,US,UK
      READ 122,ARO,BRS,BRD
      RE=D 123,AL,RL
      READ 124,AC,BC,CP
      READ 125,TAYBI,B
      READ 126,AVO,BT
      READ 127,AN,SN
      READ 128,LST
      READ 129,FF,XX
      PRINT 887
      PRINT 100,AC,BC,AL,BL,ARO,BRD,SK,(S,AN,UK
      PRINT 101,AN,SN,TAYBI,B,TTBP,E
      PRINT 102,BT,TTBP,CP
      P11=0.00375
      P(2)=.31293
      P(3)=.9
      P(4)=.68727
      P(5)=.91625
      DO 50 INC=1,IC
      D1=D1(1+0)
      D2=D2(1+0)
      H0=H0(1+0)
      DO 51 INC=1,IC
      S=C1(INC)
      CO 52 INT=1,ITB
      TB=TBI(INT)
      DO 53 INL=1,ILC
      LGR=LGR(1+INL)

```

```

      DO 54 INP=1,1L
      LLTR=LTR/(INP)
      DO 55 INZ=1,1LI
      LIZ=LIZ/(INZ)
      DO 56 INP=1,1B
      BIZ=BIZ/(INB)
      CO 57 INF1=1,1A
      ACGR=ACR1/(INR1)
      CO 58 INN=1,1TN
      TN=TN1/(INN)
      A1=D1**2
      N=42,125E+6/(RDOS*A1)
      D=3,141592653589/A1/4,
      СПРЕДЕЛЕНИЕ КРИТИЧЕСКОЙ ТЕМПЕРАТУРЫ
      TB=TTR
      TzTB
1   T=T-E.1
      AKT=AK*BEXP(-UK*T)
      ANT=AN+SA*T
      RT=AR0-BFD*T
      TAYT=TAYP1={EXP(-B*T)+EXP}-B*TBP))
      A2=(16.*INT+2.)/ANT)**ANT
      A3=3.*ANT+1.
      A4=2.*ANT+1.
      A5=5.*ANT+3.
      UL=TAYT*(1+ANT/(AKT/8.+A2*B+ANT))
      A6=D1**AKT+4*(2.-ANT)*RT/(AKT/8.+A2)
      A7=1.5*A3**2/(A4+A5)
      A8=A6-A7
      A9=SQR((4**2*(UL+ANT+A3)/8.))
      A10=8./LL+8./A3*(ANT+A9)
      RE0=A0*A10
      HE=TAYT*((2.-ANT)/ANT)*C{**2*RT**2/(AKT/8.+A2)+((2./ANT)
      REOKR=(2235,-874.*ANT)*HE+(8.073*ANT+8.013)
      IF (RE0-REOKR.GT.50.) GO TO 1
      TKP=T
      PRINT 105
      DK=D2+2.*BIZ
      R1=D1/2.
      CB1=SQR((2.*H0/D1)**2-1.)
      ALFAP=ALCG(2.*H0/D1+CB1)
      ALFA2=2.*LCR/(D1*ALFA0)
      A2=SINH(2.*ALFA0)
      ACRP=1P.+ACR+(1.+A2/(4.*ALFAP))/((g=02-R1)**2)
      YZ=LLTR/(360P.+W)
      PRINT 104,TKP,REOKR,W
      PRINT 103,D1,D2,H0,ACR,BIZ,LCR,LIZ,C,TB,TN,LLTR,YZ
      PRINT 105
      PRINT 106
      PRINT 107
      DC 59 INT=1,1Y
      Y=Y11INT1
      LTN=F.
      LTNN=0.
      X3=0.
      PT1=F.
      PT2=F.
      PT3=F.
      DP1=F.
      H1=0.

```

GOTO 46  
 45 Y=YZ  
 I(Y>NY+1).  
 46 LTR=3600, P=0  
 YC=Y-Z  
 YX=YD  
 IF(YD,GT,0) GOTO 44  
 YC=0,  
 GOTO 43  
 44 LTR=LLTR  
 43 IF(TN,LE,TBP) GOTO 48  
 IF(TN,LE,TTBP) GOTO 41  
 ТУРБУЛЕНТНАЯ РЕЖИМ ПЕДОЛОГИЧЕСКАЯ  
 PPAE=0.  
 TK=TN-R,1  
 3 TK=TK-R,1  
 IF(TK,LE,TBP) GOTO 4  
 TF=0,5\*(TK+TN)  
 GOTO 5  
 4 TF=0,5\*(TN+TRP)  
 5 TN=TF  
 2 TN=TN-R,1  
 AKW=SK=EXP(-US-TW)  
 AKF=SK=EXP(-US-TF)  
 ROFEAR0=ERO+TF  
 REF=K=C1\*ROF/AKF  
 LNF=AL-BL+TF  
 LNW=AL-BL-TW  
 CW=AC+BC-TW  
 CF=AC+BC-TF  
 PRW=AKW\*CW/LNW  
 PRF=AKF\*CF/LNF  
 ALFA1=0,P1=LNF/D1+REF+0,B=PRP+0,43+(PRF/PRW)+0,25  
 A2=ALOG(CN/D2)  
 A4=ALOG(C2/D1)  
 A1 Z=1./{1./ALFA1+D1/12.+C1Z1+A2+C1/12.+KST}+A4  
 A3=COSH(ALFA1)  
 KST=1./{A3/ALFA1+C11+1./ALFA2+1./{C11+AV0}}  
 KAST=2.5\*KST\*ALFA2+{1./ALFA2+2.}/{C11+AV0})  
 KT=KST+KAST/(1.+ACRP+TC)  
 F1=ALFA1+TF-TW+D1  
 F2=KT-CN+(TF-TB)  
 CF=F2-F1  
 IF(DP,GT,FF) GO TO 2  
 IF(TK,GT,TBP) GOTO 6  
 X=0,  
 7 X=X+XX  
 GOTO 9  
 6 X=LTH  
 9 A2=3,14159\*D1-X/{B+ROF+CF}  
 SHY=KST+Z2  
 A=KAST-A2  
 IF(TK,LE,TBP) GOTO 8  
 A3=EXP(-SHY)  
 A4=EXP(-ACRP+YD)  
 A5=EXP(-A)  
 TKR=TB\*(TN-TB)+A3+{1.+A4+}{1.+A5})  
 IF(TKR,LT,TK) GOTO 3  
 PT1> KR  
 LTHOK

```

GOTO 28
8 A3=EXP(-SHY)
A4=EXP(-ACRP+YD)
A5=EXP(-P)
H=A3*(1.-A4*(1.-A5))
TET=(TBP-TB)/(TN-TB)
IF(TET.LT.H) GOTO 7
LTA=X
X2=LTR-LTN
PT1=TBP
28 ANNA=1.0
AA=0.3164
BB=0.25
TAUB1=P,
BE=0.
CALL CIDRA(H(1),DP(1)+TA,08,ANNA,PA,BE,BE,TAUB1,TBTP)
IF(X,LT,LTR) GOTO 28
H(2)=0.
H(3)=0.
DP(2)=0.
DP(3)=0.
GOTO 21
C ТУРБУЛЕНТНЫЙ РЕЖИМ НЕМЬЮТОНОВСКИЯ
41 TBP=TN
X2=LTR
H(1)=0.
DP(1)=0.
LTN=0.
PT1=0.
24 TK=TBP-0.1
12 TK=TK-0.1
IF(TK.LE.TKPI) GOTO 13
TF=0.5*(TBP+TK)
GOTO 14
13 TF=0.5*(TBP+TKPI)
14 TH=TF
16 TH=TH-0.1
CALL RAS
ALFA1=0.221*LNF/D1+R0DF=0.8+PRF+g.43*(PRF/PRW)+0.25
ALIZ=1./((1./ALFA1)*D1/(2.*LIZ)+ALDE(DN/D2)*
+C1/(2.*LST)+ALOG(D2/D1))
KST=1./((CCSH(ALFA1)/(ALIZ+C01))+1./ALFA2+1./((C01+AV0)))
15 KNST=2.5*KST+ALFA2*(1./ALFA2+2./((C01+AV0)))
KT=KST+KNST/(1.+ACRP+TC)
F1=ALFA1*(TF-TH)*D1
F2=KT*DN*(TF-TB)
DF=F2-F1
IF (DF.GT.FF) GOTO 18
IF (TK.GT.TKPI) GOTO 11
X=0.
17 X=X+XX
GOTO 42
11 X=X2
42 A3=3.14158*D1*X/(0+POF+CF)
SHY=KST+A3
A=KNST*A3
IF(TK.LE.TKPI) GOTO 16
TKR=YD+(TBP-TB)*EXP(-SHY)+(1.-EXP(-ACRP+YD))*11.*EXP(-A))
IF(TKR.LT.TK) GOTO 12
PT2=TKR

```

LTNN=X  
 GOTO 25  
 16 N=EXP(-SLY1\*(1.-EXP(-ACRP\*YD1\*(1.-EXP(-A1))))  
 TET=TKP-TB)/(TB-P-TB)  
 IF(TET-LT,N) GOTO 17  
 LTNN=X  
 X3=X2-LYAN  
 PT2=TKP  
 25 A2=(6.-ANNF+2.)/ANNF+0.2460F/  
 A3=(3.-ANNF+1.1)\*2  
 A4=2.\*ANNF+1.  
 A5=5.\*ANNF+3.  
 HE=TAYPF\*(12.-ANNF)/ANNF+0.1+2460F/  
 31AKF/8.\*A21\*(12./ANNF)+1.5RA3/(AA+A5)  
 AA=(R.521-1.75\*ANNF+4.489\*ANNF\*2)\*  
 1HE+0.1-0.137-0.212\*ANNF)  
 BB=(R.192+0.764\*ANNF)\*E+(R.098e8.16)\*  
 1ANNF+0.0E+ANNF\*0.21  
 CALL C1DPA(H(2),DP(2),TBPNK,ANNF;AA,BB,B,TAYPF,TBPI)  
 IF(X,LT,Y21 GOTO 26  
 H(3)=0.  
 EP(3)=0.  
 GOTO 21

С АМНИЕРНА РЕЗИМ НЕНЬЮТОНСВСКУА

26 TK=TKP-B.1  
 19 TR=TK-B.1  
 TF=0.5\*(TKP+TK)  
 TH=TP  
 18 TX=TH-2.  
 CALL RAS  
 A2=AKF/8.\*(16.-ANNF+2.)/ANNF+0.2460F/  
 A3=3.\*ANNF+1.  
 A4=2.\*ANNF+1.  
 A5=3.\*ANNF+3..  
 A6=ULF+8./A3\*(ANNF+SER(A8=2\*ULF+ANNF\*RA3/8.1)  
 A7=1.5\*A3\*2/(A4+A5)  
 GRF=9.01\*87\*(TF-TW)\*D1\*3\*RD\*2/(A2\*(D1/b)\*(1.-ANNF))  
 \*+2\*A7\*2\*(8./A6)\*2  
 ALFA1=0.17\*LNF/D1\*(RFCF+PRF)=0.39\*  
 \*ICRF+PRF)\*3.1\*(PRF/PRW)=0.25  
 ALF2=1./111./ALFA1\*D1/(2.\*L12)=ALOG1CH/C21\*  
 \*D1/12.\*L571\*ALOG1(D2/D1)  
 KST=1./ICOSH1(ALFA1)/(AL12+0.1)=1./ALFA2+1./ICOSH1(AV0)  
 KT=KST\*KST/(1.+ACRP\*Tc)  
 KAST=2.5\*KST\*ALFA2\*(1./ALFA2\*2./((C01+AV0)))  
 P1=ALFA3\*(TP-TW)\*D1  
 F2=KT\*DN\*(TP-TB)  
 DF=F2-F1  
 IF (DF.GT.PF) GOTO 18  
 Y=Y3.

```

A2=3,14159*D1*X/10=RDF+DFT
3HY=KST+P2
A=KNST+A2
TKR=TB+(TKR-TB)*EXP(-3HY)+(1,-EXP(-ACRP+YC))+G1,DEXP(-A))
IF (TKR,LT,TB) GOTO 19
27 AA=64,
BB=1,
CALL CIDPA(N13),DP(3),TKR,UK,ANNF,AA,RB,B,TAYB1,TTBP)
PT3=TKR
21 H1=H(1)+H(2)+H(3)
DP3=DP(1)+DP(2)+DP(3)
PPA=DP3-CP(1)
PRINT 151,Y,YX,LTN,PT1,DP(1),LTNN,PT2,DP(2),
-X3,PT3,DP(3),DP1,H1,PPA,DP(3)
IF (INY.EQ.JY) GOTO 43
28 TK=TE
50 CONTINUE
58 CONTINUE
57 CONTINUE
56 CONTINUE
55 CONTINUE
54 CONTINUE
53 CONTINUE
52 CONTINUE
51 CONTINUE
50 CONTINUE
      STEP
100 FORMAT(28X,'ТЕПЛОЕМКОСТЬ СИ',F7,2,'+',F7,5,'+',F7
     +'28X,'ТЕПЛОПРОВОДНОСТЬ LN',F6,4,'+',F6,6,'+',F7)
     +'28X,'ПЛОТНОСТЬ RDP',F5,1,'+',F5,3,'+',F5,1)
     +'28X,'ВЯЗКОСТЬ SK',F5,2,'+',F5,3,'+',F5,3)
     +'28X,'КОНСИСТЕНЦИЯ AK',F6,3,'+',F6,3,'+',F6,3)
     +'28X,'ПОСКАЗАТЕЛЬ ПОВЕДЕНИЯ AN',F5,3,'+',F6,4,'+',F7)
     +'28X,'НАПРЯЖЕНИЕ СДВИГА TAYE',F18,3,'+',EXP('
     +'F5,3,'+',T))-'EXP('
     +'F4,1,'+',F5,3,'+',T))')
121 FORMAT(28X,'К-т ЛИНЕЙСКОГО РАСШИРЬИЯ BT',F7;5)
     +'28X,'ТЕМПЕРАТУРА ПРОЯВЛЕНИЯ РЕЗИСТ',
     +'ПЛАСТИЧНЫХ СВОЙСТВ TBR',F4,1)
     +'28X,'СКРЫТАЯ ТЕПЛОСТА МЕРИСАЛАЦИИ ПАРАВИ',
     +'НА СР',F5,1//)
103 FORMAT(28X,'ВНУТРЕННИЙ ДИАМЕТР ТРУБОПРОВОДА СИ',F9,3)
     +'28X,'ВНЕШНИЙ ДИАМЕТР ТРУБОПРОСОДА С2И',F5;3)
     +'28X,'ГЛУБИНА ЗАЛОЖЕНИЯ НВ',F5,2)
     +'28X,'ТЕМПЕРАТУРОПРОВОДНОСТЬ ГРУНТА Аз',F4,4)
     +'28X,'ТОЛСТИНА ТЕПЛОИЗОЛЯЦИИ Е1Z',F4,2)
     +'28X,'К-т ТЕПЛОПРОВОДНОСТИ ГРУНТА LGRB',
     +'F5,3//51X,'ИЗОЛЯЦИИ L1Z',F5,3)
     +'28X,'ПРОУЗВОДИТЕЛЬНОСТЬ Си',F5,2,'+',MLN,T/Год)
     +'28X,'ТЕМП-РА ОКР.СРЕДЬ TBR',F4,1)
     +'28X,'НАЧАЛЬНАЯ ТЕМПЕРАТУРА T1',F4,1)
     +'28X,'ДЛИНА ТРУБОПРОВОДА LTRE',F5,2)
     +'28X,'ВРЕМЯ ЗАПОЛНЕНИЯ T2AP',F6,2//)
104 FORMAT(28X,'КРИТИЧЕСКАЯ ТЕМПЕРАТУРА ТКР',F4,1)
     +'28X,'КРНТ, ЧИСЛО РЕАНОГРАДА БЕКР',F6,1)
     +'28X,'СКОРОСТЬ ПЕРЕКАЧКИ У',F4,2)
105 FORMAT(IX,110('''))
106 FORMAT(IX,'1 ВРЕМЯ | ТУРБ. НЬСТ. УЧ-К 1'.
     +' ТУРБ, НЕЧСТ, УЧ-К | ПАР, НЕЧСТ, УЧ-К 10Б',
     +' ПАР 1 ОЕШАЯ 1'.
     +' 6X,'1 ''/IX,86('''),'ПОТЕРЯ ПРОТЕКАЕЩАЯ . 1'

```

```

*IX,*ПРАВСТУ ПРОГРЕВІ ДАКНА )   * 1 ДАВЛЕ-Т ДЛІНА 17,
*  Т 1 ДАВЛЕ-1 ДЛІНА 1   Т 1 ДАЕЛЕ-1 ДАВЛЕ-1 НАПОРД )
*16X,PA */SX,*I (ЧАС) 1 (ЧАС) 1 .   [КОНЕЦ] ЧНЕ 11,
*  [КОНЕЦ] ННЕ 1 .   [КОНЕЦ] ННЕ 11,
*  ННЯ 1   Т   ДАВЛЕНИЯ 11

110 FORMAT(12I2)
111 FORMAT(6F5.3)
112 FORMAT(12F6.1)
113 FORMAT(12F7.8)
114 FORMAT(5F3.3)
116 FORMAT(12F4.2)
117 FORMAT(5F6.4)
118 FORMAT(12F4.1)
119 FORMAT(12F4.1)
120 FORMAT(F4.1)
121 FORMAT(2F6.3,2F5.3)
122 FORMAT(2F5.1,F5.3)
123 FORMAT(FE.4,F9.7)
124 FORMAT(F7.2,F7.5,F5.1)
125 FORMAT(F10.3,F5.3)
126 FORMAT(F4,1,F8.6)
127 FORMAT(F5.3,F6.4)
128 FORMAT(F3,B,F6.6)
129 FORMAT(5EF6.1)
130 FORMAT(F5.2)
131 FORMAT(1X,*1 *,F6.1,F8.1,E9.8,F6.1,F8.2,F9.8,F6.1;
*F8.2,F9.8,F6.1,F8.2,F8.2,F8.2,F8.2,F8.2,*11)
132 FORMAT(2BX,50(*1),/
*2BX,*1      ТЕПЛОГИДРАВЛІЧЕСКИЙ РАСЧЕТ
*2BX,*1      ПУСКА ТРУБОПРОВОДА
*2BX,*1      ( ПСАЗЕЙНАФ ПРОУЛАСКА )
*2BX,50(*1) */

END

SUBROUTINE CIDRAIN(OP,TN,DIANA,AA;BB,B,TAY01,TBP)
COMMON D1,AK,UK,N,Y,RCF
COMMON AC/B,TB,SHY,ACRP,XJA,NC,P
DIMENSION P(51,AN(51,4M13));TETA(51)
A2=2.*ANN+1.
A3=3.*ANN+1.
A4=5.*ANN+3.
A5=A2*A4/A3=2*(3.14158*ANN)+ANN
A6=(8.*A3/(3.14158*ANN))=ANN
BT2=2.*AB/(3.14158*2*9.81)+(5*AB)=BB
A7=3.14158*ANN/(8.*A3)
A8=(D1*3)/8
C1=(AT*42)=ANN
A9=ANN=(ANN+1,1*3.14158*ANN+3=0(1,0ANN)
C2=A9/2,0*(3.*ANN+1,1*3.14158*ANN)
SS=AK*EXP(-UK*TBP)
C3=TAY01*EXP(-B*TBP)/SS
C4=EXP(-B*(TBP-TB))
C5=EXP((U*(TBP-TB)))
DLT=0.
A3=-ACRP*YD
DO 1 J=1,3
A4=EXP(-ENY*P(J))
A6=EXP(-P*P(J))
TETA(J)=P*13.-EXP(A3)*(18-A6))
A7=(TN-TB)*TETA(J)
AN(3)=EXP(-U*A7)

```

```

A7=3=EXP(-E-A7)
S1=SQR(1/2+2+C2+C3+(A7+3)/2+3/(C5+ANF+3))
S2=C3+(AMT(J1-C4)
S3=C5+ANF(J1+C4)
I DLT=DLT+(S2+S3-(ANN+3))/4BB
DEL=DLT/5,
A2=B+2.+BB+BB+ANF
A3=D+2.(5.-4.+BB+BB+ANF)
A4=ISS/RCF1+BB
H=BTZ=A2+A4+X*DEL/A3
DP=H=RCF+0.2001
RETURN
END
SUBROUTINE RAS
IMPLICIT REALIK,L9
COMMON C1,AK,UK,N,Y,RCF
COMMON /R/AR0,BR0,TR,TF,AK,SA,AC,EC,CP,AL,BL,LNF,TBP
COMMON /F1/CF,AKF,ULF,RCDF,PRF,PLF,TAYZF,TAYP1,B,ANAF
RCM=AR0-ER0+TN
AKW=AK+EXP1-UK-TW
AKF=AK+EXP1-UK-TF
RCF=AR0-ER0+TF
ANWF=AN+SN+TF
ANNW=AN+SN+TN
CF=AC+BC+TF+CP
CN=AC+BC+TN+CP
LNF=AL-BL+TF
LAW=AL-BL+TN
TAYZF=TAYB1+(EXP1-B+TF)-EXP1-E+TEF)
TAYWF=TAYB1+(EXP1-B+TN)-EXP1-E+TEF)
A2=AKF/8.+((6.+ANWF+2.)/2ANF)+ANF
A3=3.+ANAF+1.
A4=2.+ANAF+1.
A5=5.+ANAF+3.
ULF=TAYZF+0.+-ANNF/(A2+X+ANWF)
A6=1.5+A7+2/(A4+A5)
A7=ULF+8./A3+(ANNF-SQRT(A6+2+ULF+ANWF+A3/8.))
RCDF=01+ANWF+H+2.+ANF)+RCF/A2+A6+8./A7
PRF=CF+(C1/H)+(1.-ANAF)/38.+LNF)+A2+A7/A6
A2=AKW/8.+((6.+ANWF+2.)/2ANW)+ANW
A3=3.+ANWF+1.
A4=2.+ANWF+1.
A5=5.+ANWF+3.
ULW=TAYWF+0.+-ANNW/(A2+H+ANWF)
A6=1.5+A7+2/(A4+A5)
A7=LNW+8./A3+(ANNW-SQRT(A6+2+ULW+ANWF+A3/8.))
PRW=CN+(C1/H)+(1.-ANWF)/38.+LNW)+A2+A7/A6
RETURN
END

```

## Приложение 3

## Программа LUFT

```

      *-----*-----*-----*-----*-----*-----*-----*-----*
      *   ТЕПЛОГИДРАВЛИЧЕСКИЙ РАСЧЕТ   *
      *   ГУСКА ТРУБОГРОВОДА   *
      *   ( НАДЗЕМНАЯ ПРСКЛАДКА )   *
      *-----*-----*-----*-----*-----*-----*-----*-----*

      IMPLICIT REAL(8K,L)

      REAL M

      COMMON D1,AK,UN,W,Y,BGP
      COMMON /C/ S,TB,SMY,ACRF,ZA,BC,P
      COMMON /F/ ARO,BR0,TB,TF,AK,SK,AC,EC,CP,AL,BL,LNF,TBP
      COMMON /E1/ CF,AKF,ULF+REOS,PRP,PRV,TAYBF,TAY21,B,ANNF
      DIMENSION D11(6),D21(6),HE1(6),TN1(18),LTR1(18),LGR1(5),T1(3)
      DIMENSION LIZ1(5),BIZ1(10),ACR1(5),TB1(12)
      DIMENSION G1(18),Y1(50),PTSS(EP13)

      READ 110,TD,ITN,FL,ILG1(ILC,IP,SA,STB,IG,IV
      READ 111,(D11(I),I=1,IC)
      READ 111,(D21(I),I=1,IC)
      READ 119,(TN1(I),I=1,ITN)
      READ 113,(LTR1(I),I=1+IL)
      READ 114,(LGP1(I),I=1,ILC)
      READ 114,(LIZ1(I),I=1+IL)
      READ 116,(BIZ1(I),I=1,IB)
      READ 117,(ACR1(I),I=1,IA)
      READ 118,(TB1(I),I=1,ITB)
      READ 119,(G1(I),I=1,PG)
      READ 120,(Y1(I),I=1,IV)
      READ 120,TBP
      READ 121,SK,AK,US,UK
      READ 122,ARO,ROS,BR0
      READ 123,AL,RL
      READ 124,AC,BC,CP
      READ 125,TAY21,B
      READ 126,AV0,BP
      READ 127,AN,SA
      READ 132,LST
      READ 128,FF,XX
      READ 115,AIZ
      PRINT 867
      PRINT 122,AC,BC,AL,BL,ARO,BR0,SK+LS,SH,UK
      PRINT 121,AK,SN,TAY21,B,TBP,EP
      PRINT 122,BT,TBP,CP
      P(1)=.08279
      P(2)=.31279
      P(3)=.5
      P(4)=.66727
      P(5)=.91625
      DO 50 INC=1,IC
      C1=D11(IAD)
      D2=D21(IAD)
      DO 51 INC=1,IC
      C=C1(INC)
      CC=57 INTPI,EP
      TB=TB1(IAD)
      DO 53 INC=1,ILC

```

```

LCR=LGR1(INL)
00 54 INP#1,IL
LLTR=LTR1(INR)
00 55 INZ#1,IL
LIZ=LIZ1(INZ)
00 56 INP#1,IB
BIZ=BIZ1(INB)
00 57 INR#1,IA
ACR=ACR1(INR1)
00 58 INA#1,ITN
TN=TN1(JAN)
41=D1**2
H=42,325E+G/(R03+A1)
S=3,(415E+H+A1)/4,
C СПРЕДЕЛЕНИЕ КРИТИЧЕСКОЙ ТЕМПЕРАТУРЫ
TBP=TBP
T=TBP
1 T=T-B.1
AKT=AK+EUP(-UKoT)
ANT=AN+SA+T
RT=ARD-BFO+T
TAYT=TAYP1+(EXP(-B+T)-EXP]-B+TBP))).
A2=(16.+ANT*2.)/ANT)**ANT
A3=3.+ANT+1,
A4=2.+ANT+1,
A5=5.+ANT+3,
ULETAYT+C1**ANT/(AKT*B.+A2+H+ANT)
A6=D1**AKT+H*(2.-ANT)*RT*(AKT/B.+A2)
A7=1.5*A3**2/(A4+A5)
A8=A8-A7
A9=SQRT(A4**2*(UL+ANT*A3/4.))
A10=B./((UL+B.)/A3*(ANT+A9))
RE0=AKT+A10
HE=TAYT*((2.-ANT)/ANT)+D1**2*RT*(7/(4AKT/B.+A2)+(2.)/ANT)
REOKR=(2235.-874.*ANT)+HE*(18.875+ANT+9.813)
IF (RE0-REOKR.GT.50.) GO TO 1
TKP=T
PRINT 185
DN=D2*2.+BIZ
R1=D2/2.
R2=DN/2,
YZ=LLTR/(3600.+W)
PRINT 184,TKP,REOKR,W
PRINT 183,D1,D2,AIZ,BIZ,LIZ,C,TB,TN,LLTR,YZ
PRINT 185
PRINT 186
PRINT 187
00 59 INT#1,IY
Y=Y1(INT)
LTNN=P.
LTNN=0.
X3=0.
PT1=P.
PT2=0.
PT3=0.
DP1=0.
H1=0.
GOTO 46
45 Y=YZ
INT=INT+1
46 LTR=3600.+W-Y

```

```

YC=Y+YZ
YX=YD
IF(YD>GT,0)-GOTO 44
YD=0,
GOTO 43
44 LTR=LLTR
45 IF(TN.LE.TBP) GOTO 4B
IF(TN.LE.TTBPI) GOTO 4I
    ТУРБУЛЕНТНЫЙ РЕЖИМ ИЛЬВТОРОВСКИЙ
    PPA=0,
    TK=TN-1,9
3 TK=TK-0,1
    IF(TK.LE.TBP) GOTO 4
    TF=0,5*(TK-TN)
    GOTO 5
4 TF=0,5*(TN-TBP)
5 TN=TF
2 TW=TW-0,1
    AKW=SK*EXP(-US+TW)
    AKF=SK*EXP(-US+TF)
    ROF=ARO-PRO+TF
    REF=H=C1+ROF/AKF
    LNF=AL-BL+TF
    LN=AL-BL+TW
    CH=AC+BC+TW
    CF=AC+BC+TF
    PRW=AKW*CH/LNF
    PRF=AKF*CF/LNF
    ALFA1=0,921*LNF/D1+REF+0,16+REF*0,43*(PRF/PRW)+0,29
    B11=ALFA1*R1/L1Z
    B12=AV0+R2/L1Z
    B111=ALFA1*(R2-R1)/L1Z
    AB=B11+B12/(B11+B12+B11*B32+ALOG(DN/D2))
    A1=B111*0,2*(15.+R1+11.+R2)
    A2=10.*B111*(3.+R1+5.+R2)*12.+P(R)+R2))/EN
    AM=2,5*(E111*(3.+R1+5.+R2)*12.+P(R)+R2))/EN
    PP=10.*E111*0,2*(4.+R1+R2)*12.+B11*(1+R1))/EN
    ACAP=A1Z+PP
    KST=L1Z+AB/R1
    KAST=2.*ALFA1+AM-(R2+R1)-0,2
    KT=KST+KAST/(1.+ACAP+TC)
    F1=ALFA1*(TF-TW)+D1
    F2=KT*CH*(TF-TW)
    CF=F2-F1
    IF(DF.GT.PP) GO TO 2
    IF(TK.GT.TBP) GOTO 6
    X=0,
7 X=X+XX
    GOTO 9
6 X=LTR
9 A2=3,14159*D1*X/(9+ROF+CF)
    SHY=KST+J2
    A=KNST*A2
    IF(TK.LE.TBP) GOTO 6
    A3=EXP(+SHY)
    A4=EXP(-ACAP-YD)
    A5=EXP(-J1)
    TKR=T+(TN-TB1)*A3*(1.+A4+J1),+A5*J1
    IF(TKR.LT.TK) GOTO 3
    PT1=TKR

```

```

LTN=X
GOTO 28
8 A3=EXP(-SHV)
A4=EXP(-ACRP+YD)
A5=EXP(-S)
H=A3*(1,-A4*(1,-A5))
TET=(TBP-TB)/(TN-TB)
IF(TET.LT.H) GOTO 7
LTN=X
X2=LTR-LTN
PT1=TBP
28 ANNA=1.0
AA=0.3164
BB=0.25
TAUD{=0,
BE=0,
CALL CIDRA(H(1),DP(1),TN,09,ANNA,PA,BB,BE,TALC1,YTBP)
IFIX,LT,LTR) GOTO 24
H(2)=0.
H(3)=0.
DP(2)=0,
DP(3)=0,
GOTO 21
9 ТУРБУЛЕНТНАЯ РЕЖИМ ФЕННОСТОВСКАЯ
41 TBP=TN
X2=LTR
H(1)=0.
DP(1)=0.
LTN=0,
PT1=0,
24 TK=TBP-1.0
12 TK=TK-E,1
IF(TK.LE.TKP) GOTO 13
TF=0.5*(TBP+TK)
GOTO 14
13 TF=0.5*(TBP+TKP)
14 TN=TF
10 TK=TK-0.1
CALL RAS
ALFA1=R1/L1Z
B11=ALFA1*R1/L1Z
B12=AVC*F2/L1Z
B111=ALFA1*(R2-R1)/L1Z
A2=B111*(R1+R2)/L1Z
A1=B111*(R1+R2)/L1Z
A2=1.0*B111*(R1+R2)/L1Z
EN=(R2-R1)*2*(A1+A2+6.0*(R1+R2))
AM=2.5*(R111*(R1+R2)+12.0*(R1+R2))/EN
PP=1.0*(R111*2*(4.0*(R1+R2)+32.0*(R1+R2))/EN
ACRP=A12*PP
NST=L1Z*ED/R1
KNST=2.0*ALFA1*AM*(R2-R1)*#2
KTEKST=K*ST/(1.+ACRP+TC)
F1=ALFA1*(TF-TW)*#01
F2=KT*DN*(TF-TB)
DF=F2-F1
IF(DF.GT.FF) GOTO 10
IF(TK.GT.TKP) GOTO 11
X=0,
17 X=X+XX
GOTO 42

```

```

11 X=X2
42 A3=3.14158*D1*X/(B+R0F+CFT
  SHY=K9T+33
  A=XNST+A3
  IF ITK,LE,TMPI GOTO 16
  TKR=T0+(TBP-T0)*EXP(-SHY)+(1,-EXP(-ACRP*YD)+(1,-EXP(-A)))
  IF ITKR.LT.TK) GOTO 12
  PT2=TKR
  LTN=NX
  GOTO 25
16 H=EXP(-SHY)+(1,-EXP(-ACRP*YD)+(1,-EXP(-A)))
  TET=(TKP-T0)/(TBP-T0)
  IF ITET.LT.H) GOTO 17
  LTN=NX
  X3=X2-LTN
  PT2=TKP
25 A2=(16.+ANNF+2.)/ANNF)++ABNF
  A3=13.+ABNF+1.+**2
  A4=2.+ANNF+1.
  A5=5.+ANNF+3.
  KE=YAYF++(2.-ANNF)/ANNF+01+*2*F0F/
  1.(AKF/B.+A2)+*(2./ANNF)+1.5*A3/(A4+A5)
  AA=(B.521+1.75+ANNF+4.499+ANNF+2)+-
  1*HE+-(-0.137-B.212+ANNF)
  BB=(B.190+0.764+ANNF)*HE+*(B.890+0.16)+-
  1*ANNF+B.-8E4+ANNF+**2)
  CALL CIOPA(H12),DP(2),TBP+UK,ANNF+AA,BB,B,YAYF;YTBP)
  IF(X,LT,X2) GOTO 26
  H13)=0.
  DP(3)=0,
  GOTO 21
C      АМНИФАРННА РЕЗИМ НЕЛЬСОНОВСКАЯ
48 TKP+7H
  X3=LTR
  H(1)=0.
  H(2)=0.
  DP(1)=0,
  DP(2)=0,
  LTH=0,
  LTN=0.
  PT1=0,
  PT2=0,
  26 TH=TKP-1.0
  19 TK=TK-B.1
  TF=B.5*(TKP+TK)
  TH=TF
  18 TH=TH-B.1
  CALL RAS
  22=AKF/B.+((16.+ANNF+2.)/ANNF)++ANNF
  A3=3.+ANNF+1.
  A4=2.+ANNF+1.
  A5=5.+ANNF+3.
  A6=ULF*B./A3+(ANNF+807*(A3+0.2*ULF+ANNF+A3/0.1))
  A7=1.5*A2+*2/(A4+A5)
  CRF=9.01+BT*(TF-TH)+D1+*3+R0F+*2/(A2+(01/H)+*(1.-ANNF))
  +*2+*7+*2+18./A6)+*2
  ALFA1=0.19+LNF/D1*(RECFC*PRF)+*0.33+
  *(CRF+PRF)+*0.1*(PRF/PRH)+*0.28
  D11=ALFA1+0.19+LNF/D1*(RECFC*PRF)+*0.33+
  *(CRF+PRF)+*0.1*(PRF/PRH)+*0.28
  D12=AVG*P2/LTZ
  D111=ALFA1+0.19+LNF/D1*(RECFC*PRF)+*0.33+
  *(CRF+PRF)+*0.1*(PRF/PRH)+*0.28

```

```

AB=B11*B12/(R1)+B12*B11*B22=ALOGRN/C2)
A1=B111+2*(5.+R1+11.*E2)
A2=1E.*B111+13.*R1+5.*E2)
EK=(R2-R1)*2*(A1+A2+62.+]R1+E2))
AP=2.5*(F111+13.*R1+5.*E2)+12.+(R1+R2))/EK
PP=1E.*1E111+2*(4.*R1+R2)+12.*B111*R1)/EK
ACFP=A1Z*PP
KST=L12*AP/R1
KNST=2.*ALFA1*AM*(R2-R1)+2
KT=KST+KNST/(1.+ACFP+TC)
F1=ALFA1*(TF-TW)=01
F2=KT-CN*(TF-TB)
CF=F2-F1
IF (DF.GT.FF) GOTO 18
X=X3
A2=3.14158*D1*X/(B+RDF+CF)
SHY=KST+2
AK=KNST+A2
TKR=T0+(TKR-TB)=EXP(-SHY)+(1.-EXP(-ACFP+TC))=11.=EXP(-A))
IF (TKR.LT.TK) GOTO 19
27 AA=64.
BB=1,
CALL CICRA(H(3),DP(3),TKR;UK,ANAF;AA,BB,B,TAY81,TTBP)
PT3=TKR
21 H1=H11+T2+H13
DP1=DP(1)+DP(2)+DP(3)
PPA=DP1-EP(1)
PRINT 151,Y,YX,LTH,PT1,DP1),LTHA,PT2,DP(2),
+X3,PT3,DF(3),DP1,H1,PPA,EP(3)
IF INT.EB.IY) GOTO 45
28 TK=TB
59 CONTINUE
58 CONTINUE
57 CONTINUE
56 CONTINUE
55 CONTINUE
54 CONTINUE
53 CONTINUE
52 CONTINUE
51 CONTINUE
50 CONTINUE
STEP .
100 FORMAT(2RX,'ТЕРМОЕРКОСТЬ С=1,F7,2,1,F7,5,1+T1)
+2RX,'ТЕПЛОПРОВОДНОСТЬ LN=1,F6,4,1-1,F8,6,1+T1)
+2RX,'ПРОСТНОСТЬ RC=1,F5,1,1-1,F5,3,1+T1)
+2RX,'ВЯЗКОСТЬ SK=1,F5,2,1-1,F5,3,1+T1)
+2RX,'КОНСИСТЕНЦИЯ AK=1,F6,9,1-1,EXP(-1,F5,3,1+T1)
101 FORMAT(2RX,'ПОКАЗАТЕЛЬ ПСВЕДЕНИЯ AK=1,F5,3,1-1,F6,4,1+T1)
+2RX,'НАПРЯЖЕНИЕ СДВИГА TAYA=1,F10,3,1-1(EUR+1)
+FS,3,1+T1)-EXP(-1,F4,1,1-1,FS,3,1+T1)
102 FORMAT(2RX,'К-т ЛИНЕАРНОГО РАСШИРЕНИЯ BT=1,F7,5)
+2RX,'ТЕМПЕРАТУРА ПРОСЕГЕНИЯ АБЗКО',
+2RX,'ПЛАСТИЧНЫХ СВОЙСТВ TBP=1,F4,1/
+2RX,'СКРЫТАЯ ТЕПЛОСТА КРИСТАЛЛИЗАЦИИ ГАРАН',
+2RX,'СР=1,F5,1//1)
103 FORMAT(2RX,'ВНУТРЕННИЙ ДИАМЕТР ТРУБОПРОВОДА С1=1,F5,3/
+2RX,'ВНЕШНИЙ ДИАМЕТР ТРУБОПРОВОДА С2=1,F5,3/
+2RX,'ТЕМПЕРАТУРОПРОСТЬ ИЗОЛЯЦИИ A=1,F7,5/
+2RX,'ТОЛСТИНА ТЕПЛОИЗОЛЯЦИИ EIZ=1,F4,2/
+2RX,'К-т ТЕПЛОПРОВОДНОСТИ ИЗОЛЯЦИИ 112=1,F9,3/
+2RX,'ПРОИЗВОДИТЕЛЬНОСТЬ С=1,F5,2,1-1 МАН.Т/ГОД)

```

```

*2EX, 'ТЕМПЕРАТУРА ОКР. СРЕДЬ' T2E1,F5,1/
*2EX, 'НАЧАЛЬНАЯ ТЕМПЕРАТУРА ТКР' F4,1/
*2EX, 'ДЛИНА ТРУБОПРОВОДА LTR' F3,0/
*2EX, 'ВРЕМЯ ЗАПОЛНЕНИЯ ТЗВР' F6,2//)
104 FORMAT(2EX, 'КРИТИЧЕСКАЯ ТЕМПЕРАТУРА ТКР' F4,1/)
*2EX, 'КРИТ. ЧИСЛО РЕНОРДАСА БЕКР' F6,1/
*2EX, 'СКОРОСТЬ ПЕРЕКАЧКИ ВК' F6,2)
105 FORMAT(1X,119'**')
106 FORMAT(1X,'1 ВРЕМЕ' 1 ТУРБ. НЬЕТ, УЧ-К 1',
          ' ТУРБ. НЬЕСТ, УЧ-К 1 ДАР. НЕМЬЕСТ, УЧ-К 10БГ',
          ' 10АР 1 ОЕШАР 1',
          '16Y, '1' /1X,86('''),РПСТЕРЯ 1 (РОТЕГР) ПЕРЕГРД 1',
          '1X, '1РАБСТН (ПРОГРЕВ) ДЛИНА 1 Т 1 ДАВЛЕ-1 ДЛИНА 1',
          ' 1 Т 1 ДАВЛЕ-1 ДЛИНА 1 Т 1 ДАЕЛЕ-1 ДАВЛЕ-1 НАПОРА 1',
          '16Y, '1' /1X, '1 (ЧАС) 1 (ЧАС) 1 (КОНЕЦ) НИЕ 1',
          ' 1 (КОНЕЦ) НИЕ 1 (КОНЕЦ) НИЕ 1',
          ' 1 НИЯ 1 ! ДАВЛЕНИЯ 1')
110 FORMAT(1P(2))
111 FORMAT(6F5,3)
112 FORMAT(1PF6,1)
113 FORMAT(1PF7,0)
114 FORMAT(5F5,3)
115 FORMAT(F7,5)
116 FORMAT(1FF4,2)
117 FORMAT(5F6,4)
118 FORMAT(12F5,1)
119 FORMAT(12F4,1)
120 FORMAT(F4,1)
121 FORMAT(2F6,3,2F5,3)
122 FORMAT(2F5,1,F5,3)
123 FORMAT(F6,4,F9,7)
124 FORMAT(F7,2,F7,5,F8,1)
125 FORMAT(F10,3,F5,3)
126 FORMAT(F4,1,F8,6)
127 FORMAT(F5,3,F6,4)
128 FORMAT(F3,8,F6,0)
129 FORMAT(5F6,1)
130 FORMAT(F5,2)
151 FORMAT(1X,'1 ',F6,1,F6,1,F6,1,E9,2,F6,1,F6,2,F9,8,F6,1,
          ' F6,2,F9,8,F6,1,F6,2,F6,2,E8,2,F8,2,F8,2,' 1)
'207 FORMAT(2EX,58(''')/
*2EX, '' ТЕПЛАСГИДРАВЛИЧЕСКАЯ РАСЧЕТ '' //)
*2EX, '' ГУСНА ТРУБОПРОВОДА '' //)
*2EX, '' ( НАЗЕМНАЯ ПРОСЛАДКА ) '' //)
*2EX, 58(''')//)

END

SUBROUTINE CIDRAIN(DP,TN,0,ANN,AA;BB,B,TAYR1,TBP1
CCMHN 0);AK,UK,N,Y,ROF
CCMHN /C/0,TB,SMV,ACRP,X;A,YC,P
CIPENSION P(5),AN1(5),AM1(5),ETA(5)
A2=2,*ANN+1,
A3=3,*ANN+1,
A4=5,*ANN+3,
A5=A2+A3+2*(3.14159+21/152,
A6=10.*A2/(3.14159+ANN)+6ANN
BTZ=B.*A2/(3.14159+2*9.81)*(A5+A6)*BB
A7=3.14159*ANN/(8.*A3)
A8=(D1+0.1)/8
C1=(A7*A8)+ANN
A9=ANN*(1ANN+1.)*3.14159+ANN+13*(1.-ANN)
C2=A9/2,*+(3.*ANN+1,1*BB+6ANN

```

```

SS=AK=EXP(-UK+TBP)
C3=TAYB1=EXP(-B+TB)/SS
C4=EXP(-E+TAP-TB))
C5=EXP(U-(TBP-TB))
CLT=B.
A5=-ACRP*YD
DO 1 J=1,5
A4=EXP(-SHY-P(J))
A6=EXP(-A+P(J))
TETA(J)=A6*(1.-EXP(A5)+1)-A6)
A7=(TN-TP)*TETA(J)
AN1(J)=EXP(-U+A7)
AM1(J)=EXP(-B+A7)
S1=SORT(A2**2+C2+C3*(AP1(J)+C4)/CC5*AN1(J))
S2=C1+C3*(AM1(J)-C4)
S3=C5*AN1(J)/A5
1 DLT=DLT+(S2+S3*(ANN+SI))**BB
DEL=DLT/S.
A2=0**12.+2.*BB+BB*ANN
A3=D1**5.+4.*BB+BB*ANN
A4=(SS/RCP)**BB
H=BTZ=A2*A4*X*DEL/A5
CP=H*ROF*0.0001
RETURN
ENC
SUBROUTINE RAS
IMPLICIT REAL(K,L)
COMMON D1,AK,UK,W,Y,ROF
COMMON /E/AR0,BR0,TW,TF,AN,SN,AC,EC,CP,AL,BL,LNF,TBP
COMMON /F1/CF,AKF,ULF,REC0F,PRF,PRB,TAYRF,TAYRI,B,ANNF
RCF=ARC-PRO-TW
AKY=AK=EXP(-UK+TN)
AKF=AK=EXP(-UK+TP)
RCF=AR0-PRO-TF
ANNF=AK=SN-TW
CF=AC+BC+TF+CP
CN=AC+BC+TW+CP
LF=AL-BL+TF
LAH=AL-BL+TH
TAYPF=TAYB1*(EXP(-B+TF)-EXP(-E+TBF))
TAYBN=TAYB1*(EXP(-B+TN)-EXP(-E+TBF))
A2=AKF/8.+((6.+ANNF*2.+1./ANNF)**ANNF
A3=3.,-ANNF+1.
A4=2.,-ANNF+1.
A5=3.,-ANNF+3.
ULF=TAYBF*D1**ANNF/(A2+B+ANNF)
A6=1.5*A3**2/(A4-A5).
A7=ULF*8./A3*(ANNF+SORT(A6**2*ULF+ANNF*A3/4.))
REC0F=D1**ANNF*W**12.+ANNF*RCF/A2+A6*B./A7
PRF=CF*(F1/W)**(1.-ANNF)/18.+LF**A2+A7/A6
A2=ANNF/8.+((6.+ANNF*2.+1./ANNF)**ANNF
A3=3.,-ANNF+1.
A4=2.,-ANNF+1.
A5=3.,-ANNF+3.
ULW=TAYRF*D1**ANNW/(A2+W+ANNW)
A6=1.5*A3**2/(A4-A5)
A7=ULW*E./A3*(ANNW+SORT(A6**2*ULW+ANNW*A3/4.))
PRW=CN=(F1/W)**(1.-ANNW)/18.+LNW*A2+A7/A6
RETURN
ENC

```

## Приложение 4

# Распечатка выходной информации программ WORDEN и LUFT

# Интегрированный расчет трубопроводов и гидравлическая прокладка

ТЕПЛОЕМКОСТЬ С=1824.77+3.67E02+T  
ТЕПЛОГРЮСАНОСТЬ ЦР=0.1370-0.000074+T  
ПЛОТНОСТЬ 908863.4+0.997+T  
ВЯЗКОСТЬ ZK= 1.03\*EXP(-0.00007)  
КОНСИСТЕНЦИЯ АР=25.000+EXP(-0.155+T)  
ПОКАЗАТЕЛЬ ПСВЕЧЕНИЯ АР=6.526+0.0114+T  
НАПРЯЖЕНИЕ СВИРД ДУ02 6651.934+1EXP(-0.235+T)+EXP(-45.0\*F.235)+  
К-Т ЛИНЕАРНОГО РАСШИРЕНИЯ ВТ=0.00068  
ТЕМПЕРАТУРА ОРОГЕЛЕНИЯ ГЕОЭКОГЛАСТИЧНЫХ СЕДАСТВ ТБ=45.0  
СКРУТАЯ ТЕПЛОТА КАКСТАЛЛУЗАЦИИ ГАРДОИНА СР=648.2

КРИТИЧЕСКАЯ ТЕМПЕРАТУРА ТКР=35.0  
КРИТ. ЧИСЛО РЕЙНСЛЬДА НЕКР=2044.3  
СКОРОСТЬ ГЕРЕКАЧИ  $v=1.01$   
ВНУТРЕННИЙ ДИАМЕТР ТРУБОГРОВСА  $D_1=0.996$   
ВНЕШНИЙ ДИАМЕТР ТРУБОПРОВОДА  $D_2=1.020$   
ГЛУБИНА ЗАЛСЫШЕНИЯ  $H=1.48$   
ТЕМПЕРАТУРОГОВОСТЬ ГРУНТА  $A=0.0022$   
ТОЛЩИНА ТЕПЛОВОГО КОМПЛЕКСА  $E=2\pi R=0.18$   
К-ТЫ ТЕПЛОПРОВОДНОСТИ: ГРУНТА  $L_{G}=1.000$   
УЗОДЯЦИИ  $L_{12}=0.850$   
ПРОИЗРОДИТЕЛЬНОСТЬ  $G=20.00 \text{ кгн,т/год}$   
ТЕМП-РА СКР. СРЕДЬ  $T_{\text{ср}}=2.0$   
НЧАЛЬНАЯ ТЕМПЕРАТУРА  $T_k=50.0$   
ДЛИНА ТРУБОГРОВСА  $L_{TR}=280000$   
ВРЕМЯ ЗАПСЫШЕНИЯ  $T_{\text{зап}}=55.02$

ВРЕМЯ	ТУРБ.	НЬГТ.	УЧ-Р	ТУРБ.	НЕТЬГТ.	УЧ-И	
1 15:45:1 (ЧАС)	ДЛЯНА	ДАЕЛЕ-	ДРИНД	ДАЕ/Е-	ДАЕ/Е-	ДАЕ/Е-	
	ІКСІЕЧІ	НҮЕ	ІКСІЕЧІ	НҮЕ	ІКСІЕЧІ	НҮЕ	
68.0	3.8	40200.	49.0	3.83	116000.	35.8	11.27
72.0	17.0	54300.	49.0	3.20	146000.	26.4	14.15
96.0	41.0	84000.	49.0	0.69	116000.	40.3	11.19
122.0	65.0	187200.	49.0	10.38	93000.	42.0	9.93
1387.0	945.0	337200.	49.0	12.51	78000.	43.1	6.96
2200.0	1945.0	132200.	49.0	12.51	76000.	43.1	6.96
33.0	6.4	25000.	49.0	3.37	181000.	35.8	9.81

## Продолжение таблицы выходной информации

ЛАМ. НЕИСТ. УЧ-К		СЕКАР И СБАКИ		ПОСТРБ И ГОТЕНЯ		ПЕРЕПАД	
ДРИНА И Т		ДАВЛЕ-И ДАВЛЕ-И НАПОРД					
ИКОНЕЦ МИР И ФИР						ДАВЛЕНИЯ	
64000.	32,0	6.00	21.21	252.18	17.36	5.87	1
0.	0.0	0.0	19.39	232.44	14.15	2.0	1
0.	0.0	0.0	19.71	229.58	11.10	2.0	1
0.	0.2	0.0	19.35	232.16	9.07	2.0	1
0.	0.0	0.0	19.46	232.27	6.94	2.0	1
0.	0.0	0.0	19.46	232.27	6.96	2.0	1
64228.	31,0	11.26	24.45	294.28	21.07	11.26	1

## СОДЕРЖАНИЕ

	Стр.
I. Перечень условных обозначений	<u>3</u>
I.I. Индексы	<u>3</u>
I.2. Обозначения	<u>5</u>
I.3. Константы	<u>7</u>
I.4. Параметры	<u>8</u>
2. Исходные данные для расчета	<u>10</u>
3. Определение критических параметров потока жидкости	<u>14</u>
4. Пуск трубопровода в эксплуатацию	<u>16</u>
4.1. Технический расчет	<u>16</u>
4.2. Гидравлический расчет	<u>22</u>
5. Определение времени безопасной остановки трубопровода	<u>25</u>
5.1. Расчет времени остановки подземного трубопровода	<u>25</u>
5.2. Расчет времени остановки надземного трубопровода	<u>26</u>
5.3. Гидравлический расчет	<u>26</u>
5.4. Графоаналитический метод	<u>29</u>
6. Определение срокаов протаивания грунтов вокруг трубопровода и тепловой расчет	<u>31</u>
Список литературы	<u>34</u>
Приложение I. Справочные таблицы	<u>36</u>
Приложение 2. Программа <i>BODEN</i> . Техгидравлический расчет пуска трубопровода (подземная прокладка).	<u>40</u>
Приложение 3. Программа <i>LUFT</i> . Техгидравлический расчет пуска трубопровода (надземная прокладка).	<u>48</u>
Приложение 4. Распечатка выходной информации программ <i>BODEN</i> и <i>LUFT</i>	<u>56</u>

**РУКОВОДЯЩИЙ ДОКУМЕНТ**

**М Е Т О Д И К А**

**РАСЧЕТА НЕСТАЦИОНАРНЫХ ТЕХНОЛОГИЧЕСКИХ РЕЖИМОВ  
РАБОТЫ НЕИЗОТЕМЕЧСКИХ ТЕПЛОЗОЛИРОВАННЫХ  
МАГИСТРАЛЬНЫХ ТРУБОПРОВОДОВ ПРИ РАЗЛИЧНЫХ  
СПОСОБАХ ПРОКЛАДКИ ИХ В РАЙОНАХ РАСПРОСТРАНЕНИЯ  
МНОГОЛЕТНЕМЕРЗЛЫХ ГРУНТОВ**

**РД 39-30-1061-84**

**ВНИИСПГнефть**

**450055, Уфа, просп. Октября, 144/3**

**Редактор Г.Л.Левченко**

**Технический редактор В.В.Антошкина**

---

**Подписано к печати 8.09.1984 г.**

**Формат 60x90 1/16. Уч.-изд.л. 2,7. Тираж 140 экз.**

**Заказ 152**

---

**Ротапринт ВНИИСПГнефти**